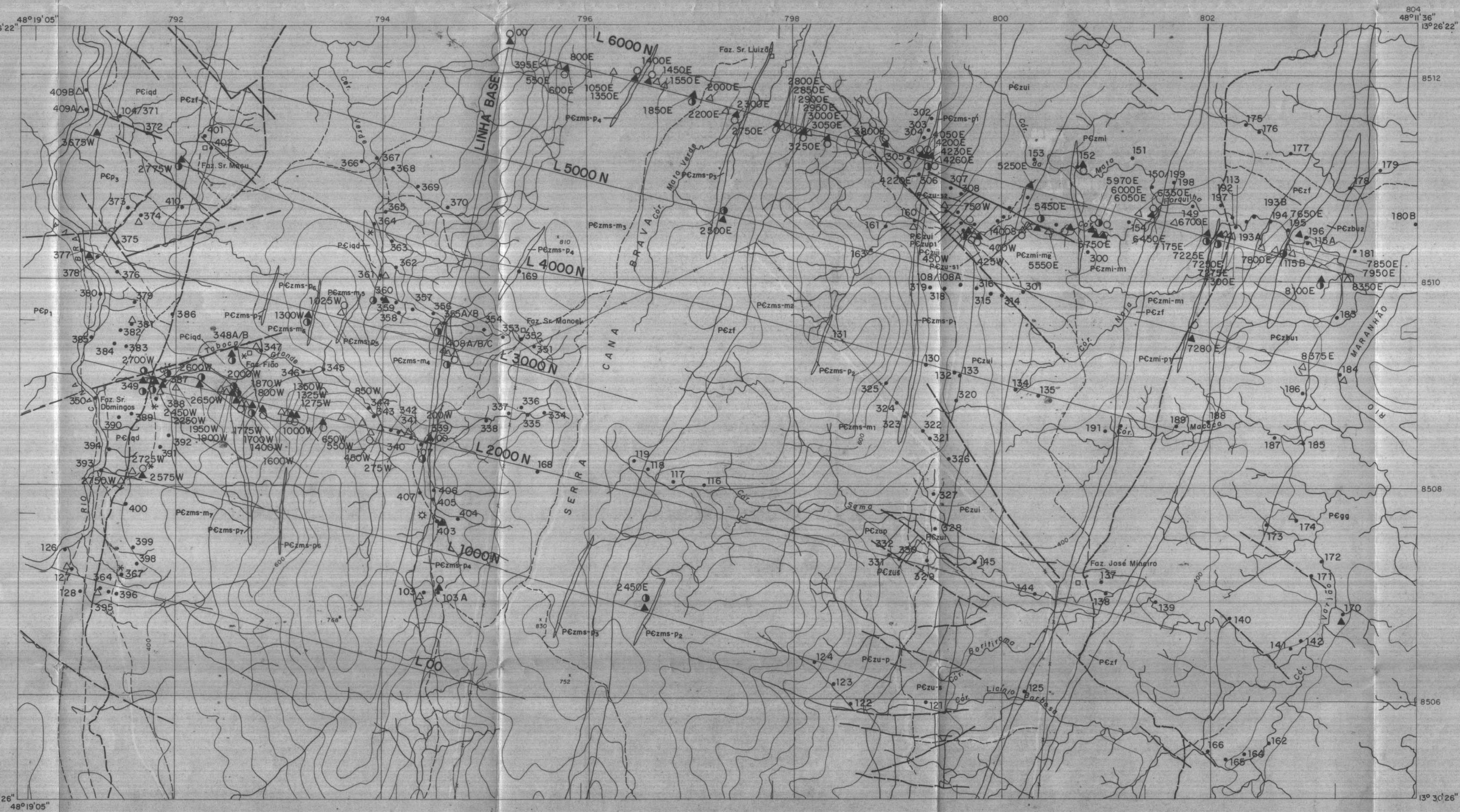


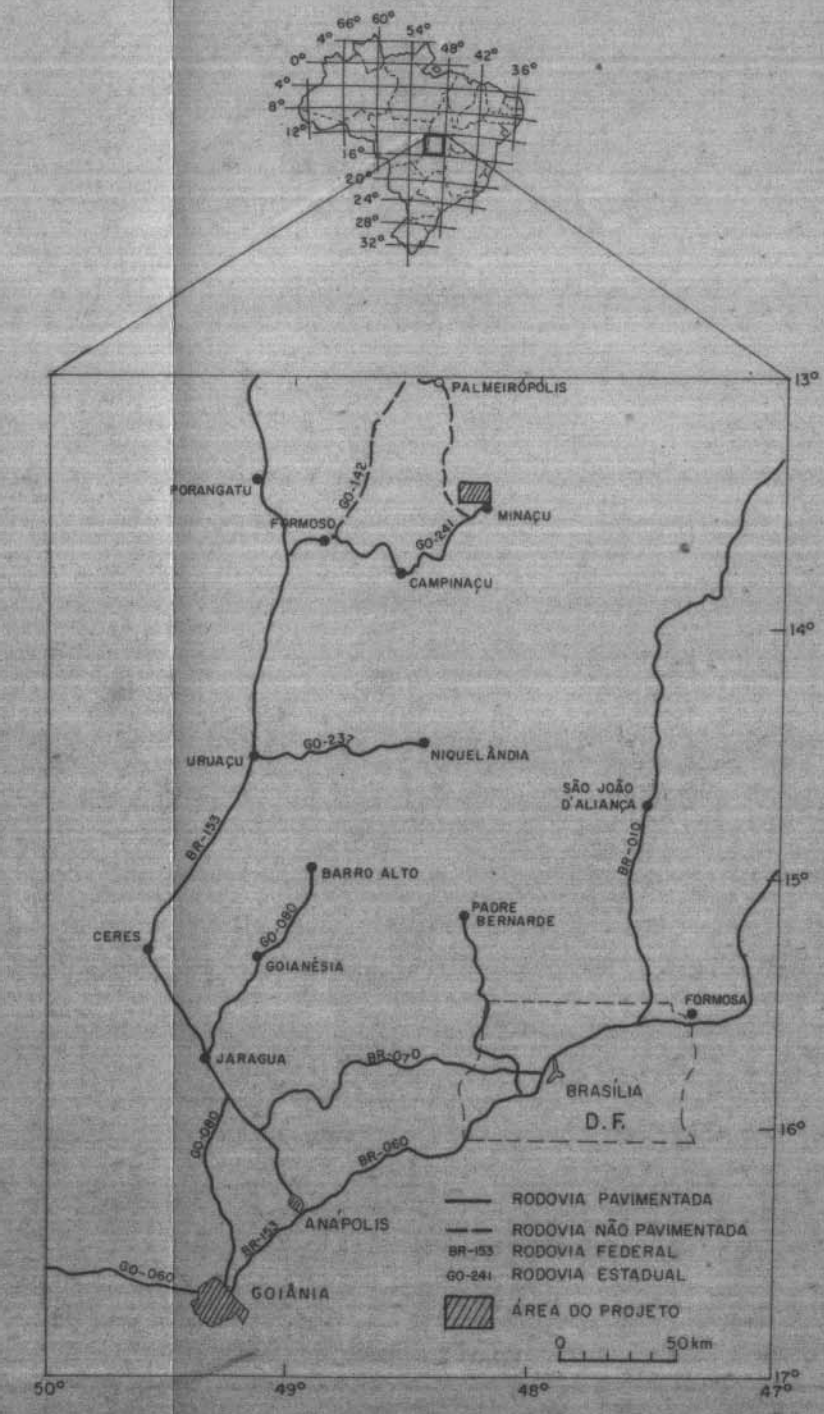
ANEXOS



LEGENDA

S.V.S. # IND PALMEIRÓPOLIS	PEp1	PEp1 - DIOPSÍDIO-GRANADA ANFIBOLITOS, BIOTITA-GRANADA-AFIBOLITOS Finos a médios, localmente com bandamentos metamórficos
	PEp3	PEp3 - (GRANADA?) - MUSCOVITA - QUARTZO - XISTOS
	PEin	ZNB - HIPERTÊNIO-QUARTZO-NORITOS, HIPERTÊNIO-BIOTITA-GRANADA-GNÁISES, ULTRAMILONITOS RICOS EM QUARTZO (localmente com porfiroclastos de hiperstênio), BIOTITA-ANFIBÓLIO-NORITOS. XENÓLITOS DE GABRO NORITOS A NORITOS, HORNBLENDA NORITOS E ANFIBOLITOS.
	PEzf	ZNC - NORITOS PEzf - ZONA DE FALHA com predomínio de ultramilonitos ricos em quartzo e anfibólitos subordinados.
	PEzms-m	PEzms-m7 - NORITOS E GABRO NORITOS MÉDIOS, isotrópicos, às vezes protomiloníticos e miloníticos e granulizados. SUBZONA - ZMS-07
	PEzms-p7	PEzms-p7 - WEBSTERITOS FELDSPÁTICOS, isotrópicos. SUBZONA - ZMS-06
	PEzms-me	PEzms-me - NORITOS e GABRO NORITOS médios a grosseiros, isotrópicos. Localmente miloníticos e granulizados.
	PEzms-pe	PEzms-pe - WEBSTERITOS FELDSPÁTICOS, isotrópicos. SUBZONA - ZMS-05
	PEzms-mg	PEzms-m5 - METAGABRO NORITOS MILONÍTICOS, granulizados.
	PEzms-ps	PEzms-p5 - WEBSTERITOS FELDSPÁTICOS, isotrópicos. SUBZONA - ZMS-04
COMPLEXO MÁFICO-ULTRAMÁFICO DE CANA BRAVA SÉRIE CANA BRAVA ZONA ULTRAMÁFICA SUPERIOR	PEzms-mj	PEzms-m4 - METAGABRO NORITOS MILONÍTICOS, granulizados. Localmente corpos intrusivos hiperstênio-quartzo-dioritos. SUBZONA - ZMS-03
	PEzms-ma	PEzms-p4 - WEBSTERITOS FELDSPÁTICOS, OLIVINA-WEBSTERITOS, isotrópicos. AUTOLITOS DE GABRO NORITOS finos. SUBZONA - ZMS-02
	PEzms-mi	PEzms-m3 - METAGABRO NORITOS MILONÍTICOS finos e granulizados.
	PEzms-p3	PEzms-p3 - WEBSTERITOS FELDSPÁTICOS A MELAGABRO NORITOS CORONÍTICOS A OLIVINA, isotrópicos. SUBZONA - ZMS-01
	PEzms-mi	PEzms-m2 - METAGABRO NORITOS MILONÍTICOS, granulizados.
	PEzms-p2	PEzms-p2 - WEBSTERITOS FELDSPÁTICOS, isotrópicos. Localmente com cristalização granulítica. SUBZONA - ZMS-01
	PEzms-m1	PEzms-m1 - METAGABRO NORITOS MILONÍTICOS, granulizados.
	PEzms-p1	PEzms-p1 - WEBSTERITOS de cor preta, isotrópicos. Localmente feldspáticos.
	PEzul	PEzul - ZONA ULTRAMÁFICA INDEFERENCIADA (SERPENTINITOS? PIROXENITOS? SÓLO). SUBZONA - ZU-02
	PEzu-s2	PEzu-s2 - SERPENTINITOS de cor castanha, intesamente alterados. SUBZONA - ZU-01
COMPLEXO MÁFICO-ULTRAMÁFICO DE CANA BRAVA SÉRIE CANA BRAVA ZONA ULTRAMÁFICA INFERIOR	PEzu-p1	PEzu-p1 - WEBSTERITOS MÉDIOS, WEBSTERITOS GROSSEIROS A PEGMATÓIDES, WEBSTERITOS FELDSPÁTICOS, isotrópicos.
	PEzu-s1	PEzu-s1 - SERPENTINITOS de cor verde a castanha, intesamente alterados e deformados, localmente com fibras de crisotilo. Intercalações centimétricas a decimétricas de metagabro noritos e metapiroxenitos. SUBZONA - ZM1-02
	PEzmi-m2	PEzmi-m2 - METAGABRO NORITOS MILONÍTICOS, granulizados. Localmente com substituições para anfibólitos.
	PEzmi-p2	PEzmi-p2 - WEBSTERITOS FELDSPÁTICOS, ANFIBÓLIO-MELAGABRO NORITOS, localmente granulizados, SUBZONA - ZM1-01
	PEzmi-m	PEzmi-m - METAGABRO NORITOS MILONÍTICOS, de granulção fina, granulizados. Localmente com substituições para anfibólitos.
	PEzmi-p1	PEzmi-p1 - CLINOPIROXÊNIO - METAGORTOPIROXÊNITO FELDSPÁTICO, médio a fino e granulizado. SUBZONA BASAL
	PEsb3	PEsb3 - METAGABRO NORITOS ULTRAMILONÍTICOS, finos, granulizados, frequentemente substituídos por minerais do fácies xistoverde (anfibólitos, clorita, talco, epidoto).
	PEsb2	PEsb2 - OLIVINA-MELAGABRO NORITOS CORONÍTICOS, localmente com texturas isotrópicas preservadas.
	PEsb1	PEsb1 - METAGABRO NORITOS ULTRAMILONÍTICOS, finos, granulizados, frequentemente substituídos por minerais do fácies xistoverde (anfibólitos, clorita, talco, epidoto).
	PEgg	PEgg - BIOTITA - MUSCOVITA - AUGEN GNÁISES MILONÍTICOS, GRANADA - BIOTITA - MUSCOVITA - GNÁISES BANDADOS E ULTRA MILONÍTICOS, de composição granítica a granodiorítica.

* IND - INTRUSÕES NORÍTICAS



BASE PLANIMÉTRICA: CARTA TOPOGRÁFICA - MINACU - SD. 22-X-D-IV - ESCALA - 1:100.000
 CARTA TOPOGRÁFICA - PALMEIRÓPOLIS - SD. 22-X-D-III - ESCALA - 1:100.000
 DSG - MINISTÉRIO DO EXÉRCITO

CURVAS DE NÍVEL: 40m

BASE HIDROGRÁFICA: FOTOGRAFIAS AÉRFAS - PROSPÉC - PROJETO BRASÍLIA - 1969
 ESCALA APROXIMADA: 1:43.850

- CONTATO GEOLÓGICO
 - FALHA
 - * / □ XENÓLITO (X) / AUTOLITO (A)
 - △ LÂMINA DELGADA
 - ▲ LÂMINA POLIDA - ANÁLISE QUÍMICA MINERAL
 - AMOSTRA - ANÁLISE LITOGEOQUÍMICA - ELEMENTOS MAIORES/MENORES/TRAÇOS
 - AMOSTRAS - ANÁLISE LITOGEOQUÍMICA - ELEMENTOS MAIORES/MENORES/TRAÇOS/ETR
 - PONTO DE DESCRIÇÃO GEOLÓGICA/AMOSTRAGEM
- CONVENÇÕES GEOGRÁFICAS
- ESTRADA PRINCIPAL
 - ESTRADA SECUNDÁRIA
 - CERCA
 - SEDE FAZENDA
 - DRENAGEM
 - CURVA DE NÍVEL
 - PICADAS/LINHA BASE

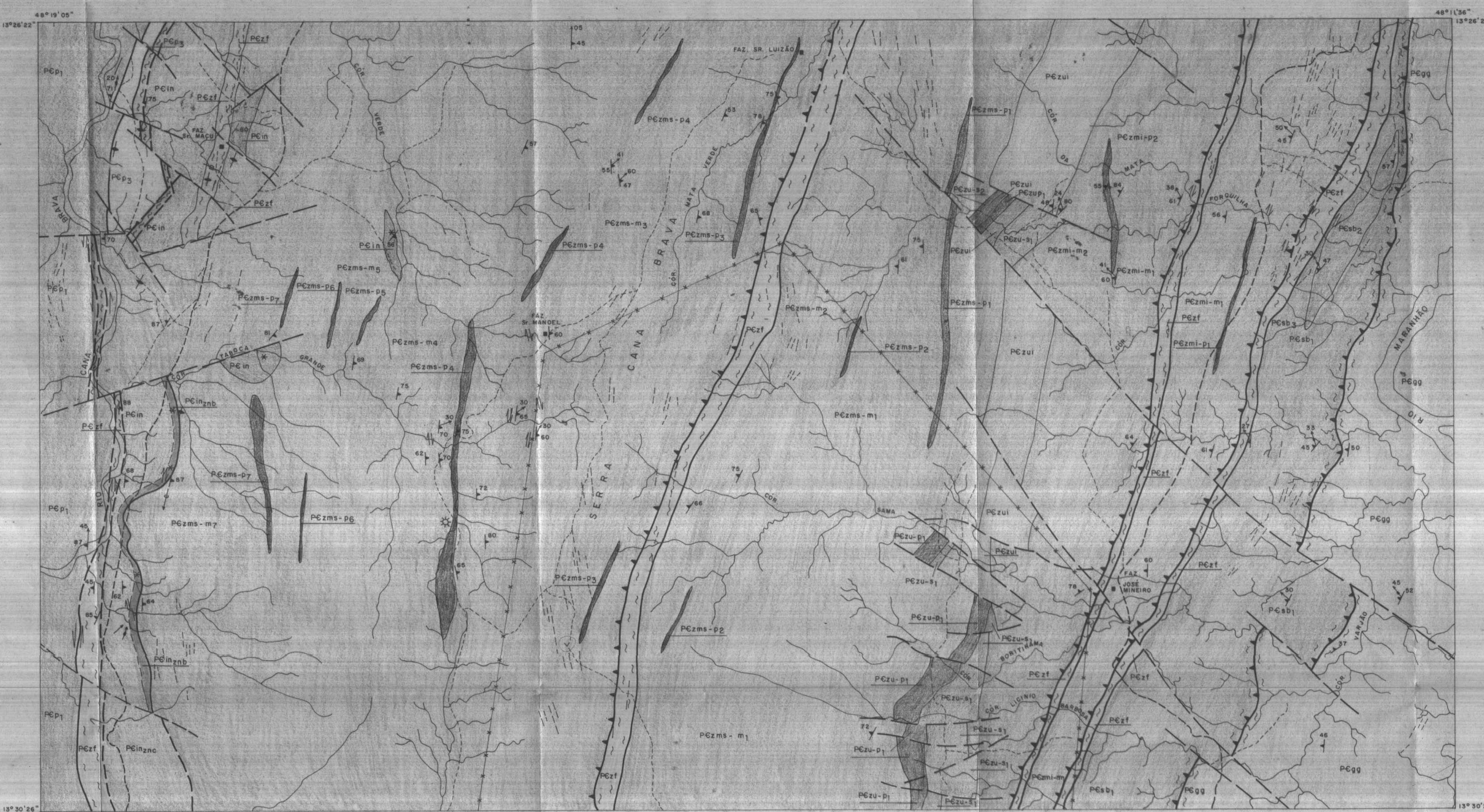
UNIVERSIDADE DE BRASÍLIA - UNB

INSTITUTO DE GEOCIÊNCIAS

MAPA DE PONTOS E LOCALIZAÇÃO DE AMOSTRAS

DISSERTAÇÃO DE MESTRADO Nº 118 - THIERS MUNIZ LIMA

ESCALA 1:25.000 DATA 21/02/1997



LEGENDA

S.V.S. PALMEIRÓPOLIS	PCp1	DIOPSÍDIO-GRANADA ANFIBOLITOS, BIOTITA-GRANADA-ANFIBOLITOS Finos a médios, localmente com bandamentos metamórficos.
	PCp2	(GRANADA?) MUSCOVITA - QUARTZO - XISTOS.
IN	PCIn	Znb-QUARTZO-NORITO HIPERTÊNIO-BIOTITA-GRANADA-GNAÍSES, ULTRAMILONITOS RICOS EM QUARTZO (localmente com porfiroclastos de hiperstênio), BIOTITA-ANFIBÓLIO-NORITOS XENÓLITOS DE GABRONORITOS A NORITOS, HORNBLENDA NORITOS E ANFIBOLITOS
	PCzf	Znc-NORITOS, HORNBLENDA NORITOS, HORNBLENDA - BIOTITA - NORITOS. PCzf - ZONA DE FALHA com predomínio de ultramilonitos ricos em quartzo e anfibólitos subordinados.
COMPLEXO MÁFICO-ULTRAMÁFICO DE CANA BRAVA	ZONA MÁFICA SUPERIOR	
	PCzms-m7	SUBZONA - ZMS-07 PCzms-m7 - NORITOS E GABRONORITOS MÉDIOS, isotrópicos, às vezes protomiloníticos e granulitizados.
	PCzms-p7	PCzms-p7 - WEBSTERITOS FELDSPÁTICOS, isotrópicos.
	SUBZONA - ZMS-06	
	PCzms-m6	PCzms-m6 - NORITOS E GABRONORITOS médios a grosseiros, isotrópicos. Localmente miloníticos e granulitizados.
	PCzms-p6	PCzms-p6 - WEBSTERITOS FELDSPÁTICOS, isotrópicos.
	SUBZONA - ZMS-05	
	PCzms-m5	PCzms-m5 - METAGABRONORITOS MILONÍTICOS, granulitizados.
	PCzms-p5	PCzms-p5 - WEBSTERITOS FELDSPÁTICOS, isotrópicos.
	SUBZONA - ZMS-04	
	PCzms-m4	PCzms-m4 - METAGABRONORITOS MILONÍTICOS, granulitizados. Localmente corpos intrusivos hiperstênio-quartzo-dioritos.
	PCzms-p4	PCzms-p4 - WEBSTERITOS FELDSPÁTICOS, OLIVINA - WEBSTERITOS, isotrópicos. AUTOLITOS DE GABRONORITOS finos.
	SUBZONA - ZMS-03	
	PCzms-m3	PCzms-m3 - METAGABRONORITOS MILONÍTICOS finos e granulitizados.
	PCzms-p3	PCzms-p3 - WEBSTERITOS FELDSPÁTICOS A MELAGABRONORÍTICOS A OLIVINA, isotrópicos
SUBZONA - ZMS-02		
PCzms-m2	PCzms-m2 - METAGABRONORITOS MILONÍTICOS, granulitizados.	
PCzms-p2	PCzms-p2 - WEBSTERITOS FELDSPÁTICOS, isotrópicos. Localmente com recristalização granulitizados.	
SUBZONA - ZMS-01		
PCzms-m1	PCzms-m1 - METAGABRONORITOS MILONÍTICOS, granulitizados.	
PCzms-p1	PCzms-p1 - WEBSTERITOS de cor preta, isotrópicos. Localmente feldspáticos	
PCzui	PCzui - ZONA ULTRAMÁFICA INDIFERENCIADA (SERPENTINITOS ? / PIROXENITOS ? / SOLO).	
SUBZONA - ZU-02		
PCzu-s2	PCzu-s2 - SERPENTINITOS de cor castanho, intensamente alterados.	
SUBZONA - ZU-01		
PCzu-p1	PCzu-p1 - WEBSTERITOS MÉDIOS, WEBSTERITOS GROSSEIROS A PEGMATÓIDES, WEBSTERITOS FELDSPÁTICOS, isotrópicos	
PCzu-s1	PCzu-s1 - SERPENTINITOS de cor verde a castanho, intensamente alterados e deformados, localmente com fibras de crisotilo. Intercalações centimétrica a decimétrica de metagabronoritos e metapiroxenitos.	
SUBZONA - ZMI-02		
PCzmi-m2	PCzmi-m2 - METAGABRONORITO MILONÍTICOS, granulitizados. Localmente com substituições para anfibólitos.	
PCzmi-p2	PCzmi-p2 - WEBSTERITOS FELDSPÁTICOS, ANFIBÓLIO - METAGABRONORITOS, localmente granulitizados.	
SUBZONA - ZMI-01		
PCzmi-m1	PCzmi-m1 - METAGABRONORITOS MILONÍTICOS, de granulação fina granulitizados. Localmente com substituições para anfibólitos.	
PCzmi-p1	PCzmi-p1 - CLINOPIROXENITO - METAGORTOPIROXENITO FELDSPÁTICO, médio a fino e granulitizado.	
SUBZONA BASAL - ZMI-SB		
PCsb3	PCsb3 - METAGABRONORITOS ULTRAMILONÍTICOS, finos, granulitizados, frequentemente substituídos por minerais da fácies xistoverde (anfíbolos, clorita, talco, epidoto).	
PCsb2	PCsb2 - OLIVINA - METAGABRONORITOS CORONÍTICOS, localmente com texturas isotrópicas preservadas.	
PCsb1	PCsb1 - METAGABRONORITOS ULTRAMILONÍTICOS, finos, granulitizados frequentemente substituídos por minerais da fácies xistoverde (anfíbolos, clorita, talco, epidoto).	
PCgg	PCgg - BIOTITA-MUSCOVITA-AUGÊN GNAÍSES MILONÍTICOS, GRANADA-BIOTITA-MUSCOVITA, GNAÍSES BANDADOS ULTRAMILONÍTICOS, de composição granítica e granodiorítica.	

* IN - INTRUSÕES NORÍTICAS

CONVENÇÕES ESTRUTURAIS E GEOLÓGICAS

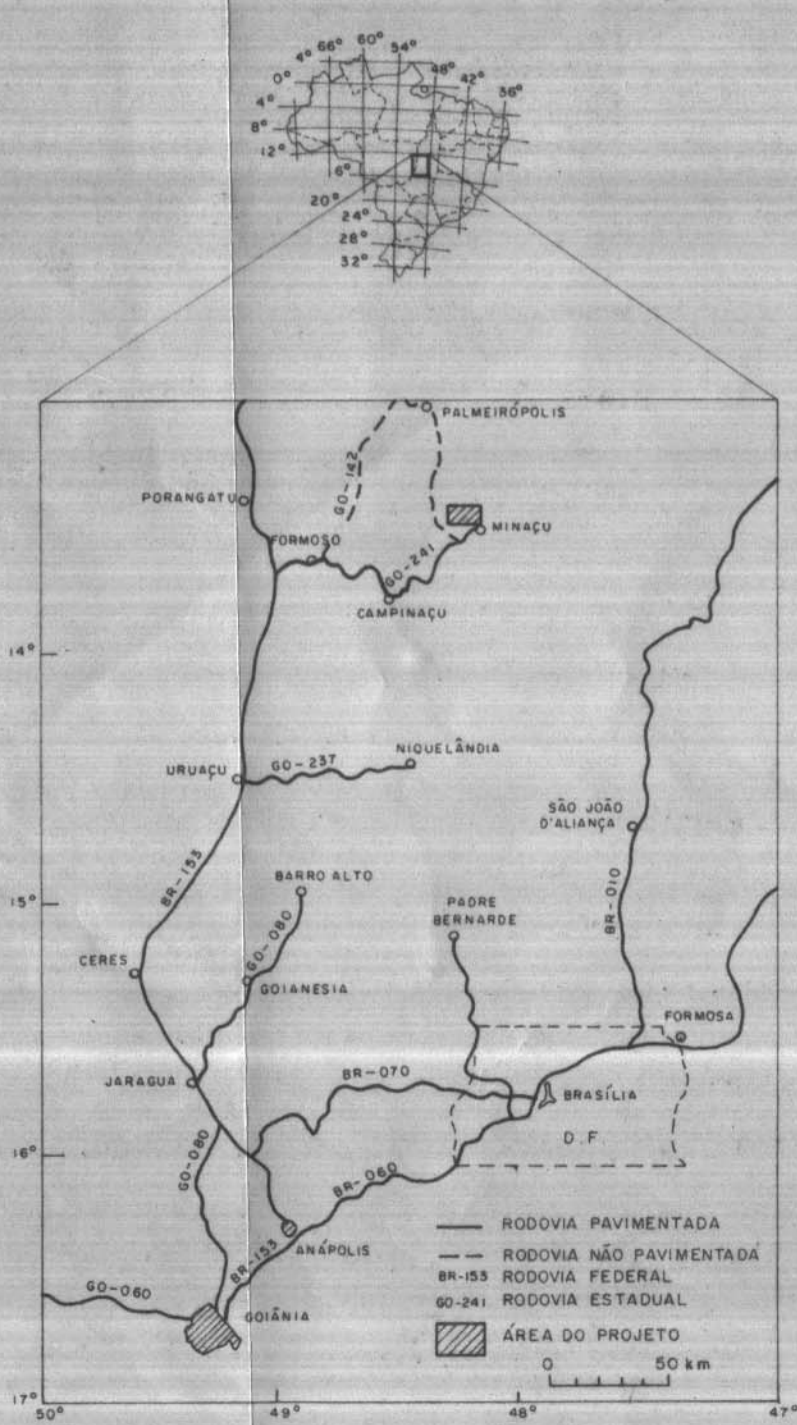
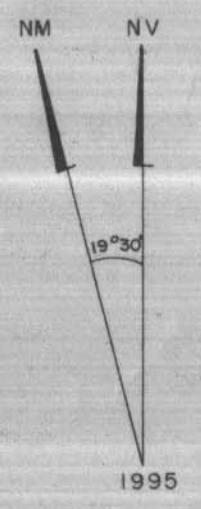
- 90 DIREÇÃO E MERGULHO DE FOLIAÇÃO Sn
- FOLIAÇÃO Sn VERTICAL
- LINEAÇÃO MINERAL
- LINEAÇÃO DE ESTIRAMENTO
- LINEAÇÃO DE EIXO DE DOBRAS
- INDICADOR CINEMÁTICO
- ACAMAMENTO IGNEO - SO
- FOTOLINEAMENTOS - FOLIAÇÃO
- FALHA INFERIDA
- FALHA REVERSA OBLÍQUA
- FALHA DIRECIONAL
- CONTATO GEOLÓGICO INFERIDO
- CONTATO GEOLÓGICO DEFINIDO
- ZONA COM PREDOMÍNIO DE ULTRAMILONITOS
- XENÓLITO (*), AUTOLITO (☆)

CONVENÇÕES GEOGRÁFICAS

- ESTRADA PRINCIPAL
- ESTRADA SECUNDÁRIA
- CERCA
- FAZENDA
- DRENAGEM

BASE PLANIMÉTRICA: CARTA TOPOGRÁFICA - MINAÇU-SD 22-X-D-IV - ESCALA - 1:100.000
CARTA TOPOGRÁFICA - PALMEIRÓPOLIS - SD 22-X-D-III - ESCALA - 1:100.000
DSG - MINISTÉRIO DO EXÉRCITO

BASE HIDROGRÁFICA: FOTOGRAFIAS AÉREAS - PROSPEC - PROJETO BRASÍLIA - 1969
ESCALA APROXIMADA 1:43.850



UNIVERSIDADE DE BRASÍLIA - UNB

INSTITUTO DE GEOCIÊNCIAS

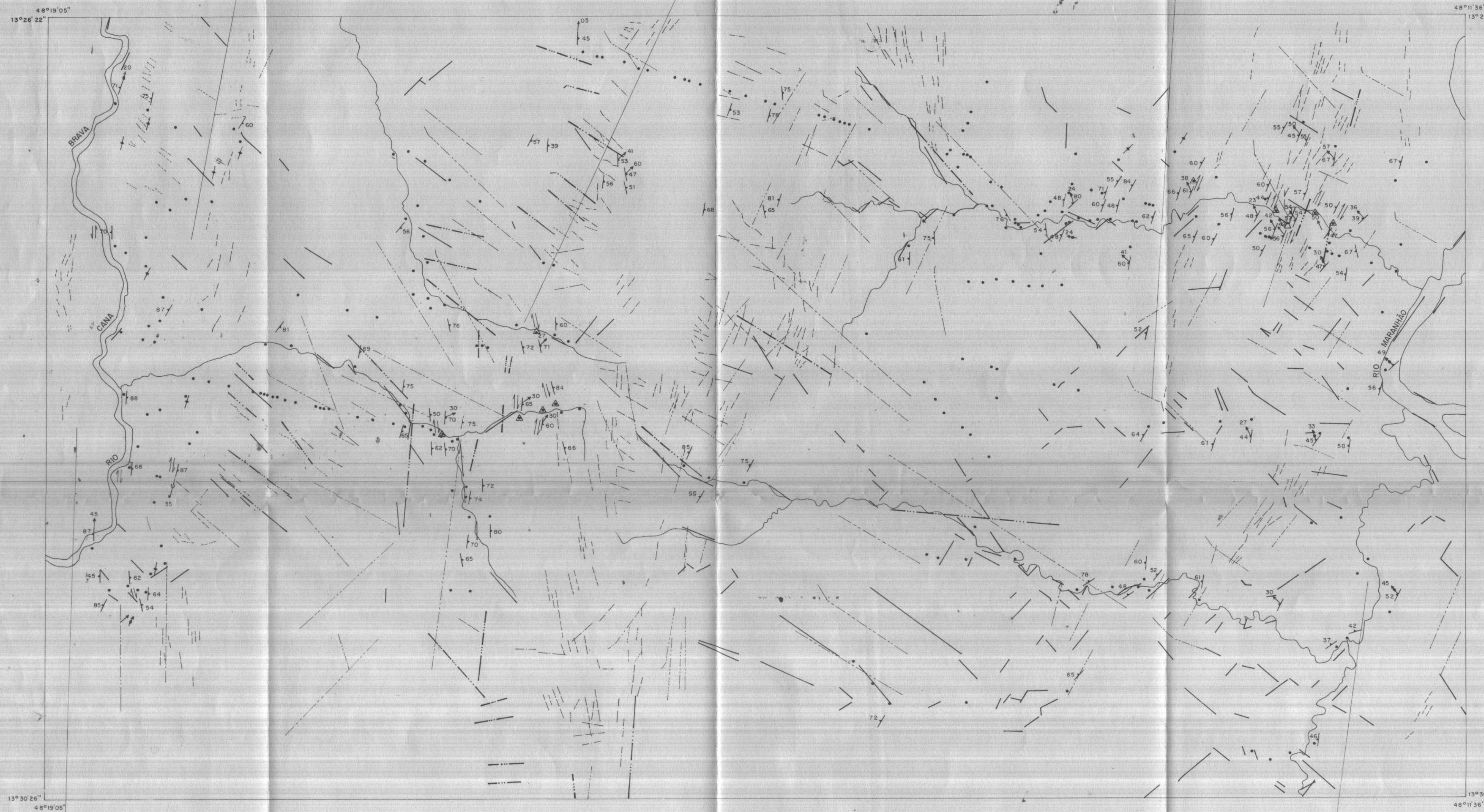
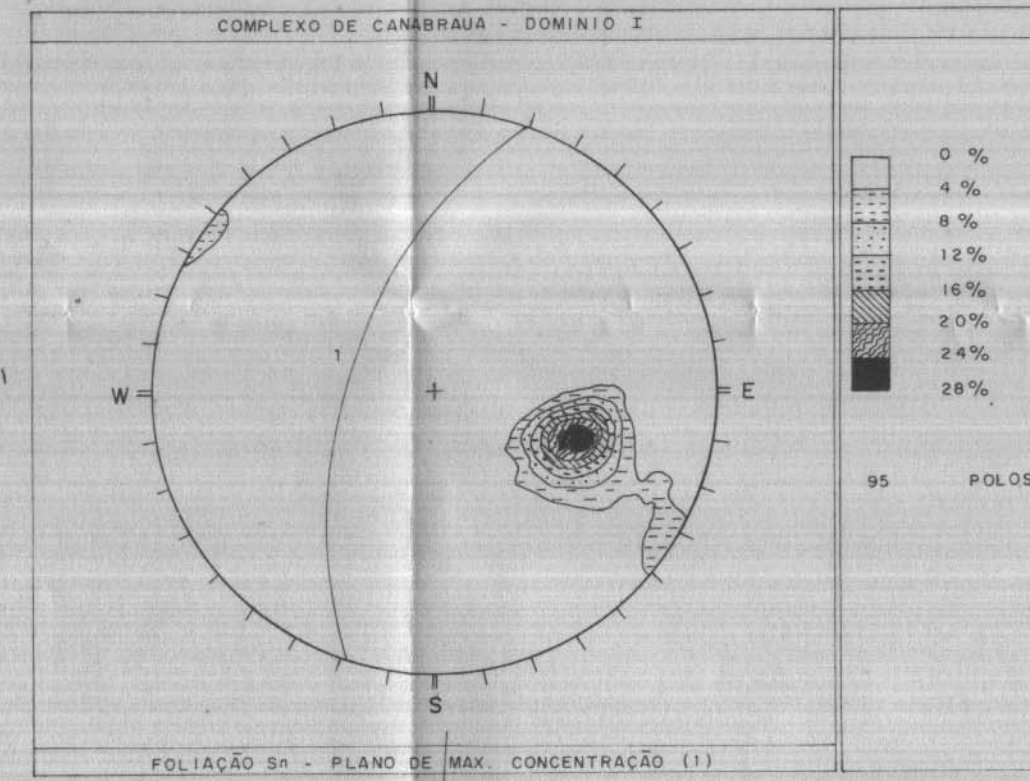
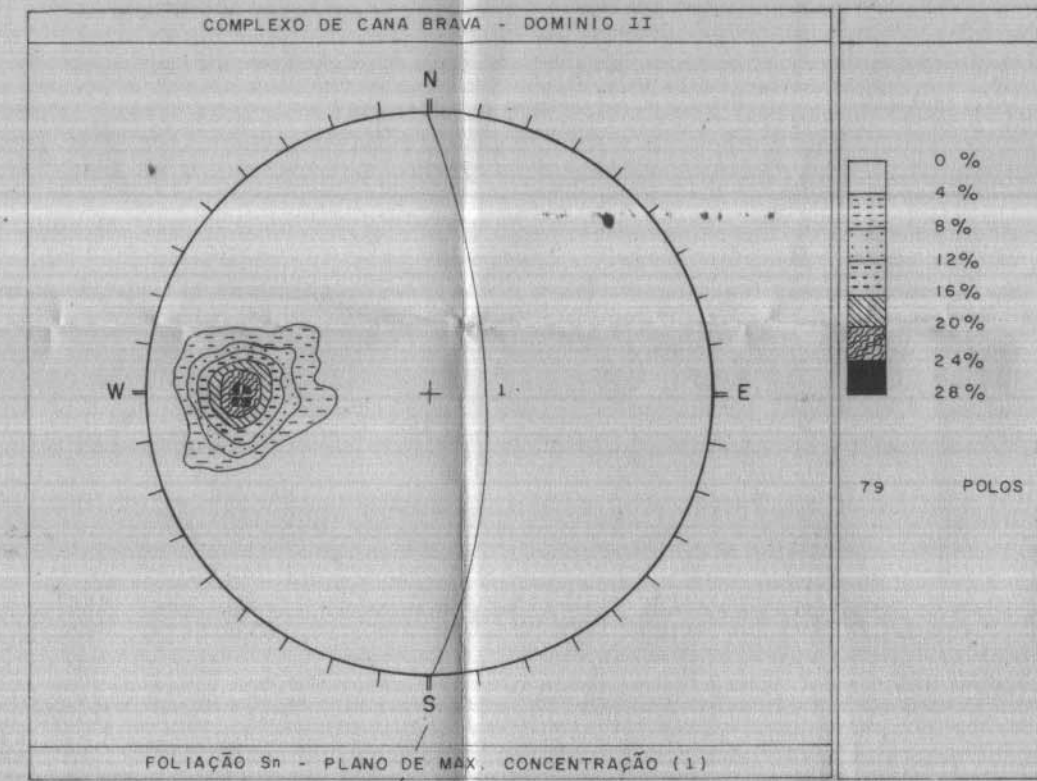
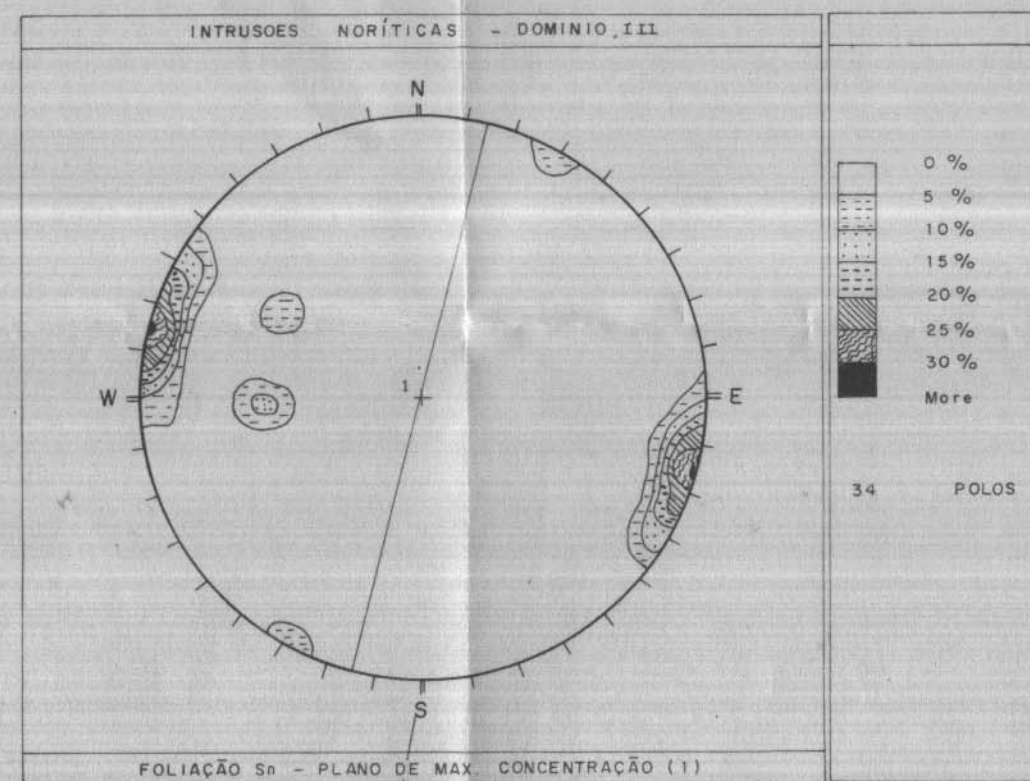
MAPA GEOLÓGICO DA PORÇÃO SUL DO COMPLEXO MÁFICO-ULTRAMÁFICO DE CANA BRAVA

DISSERTAÇÃO DE MESTRADO Nº 118

THIERS MUNIZ LIMA

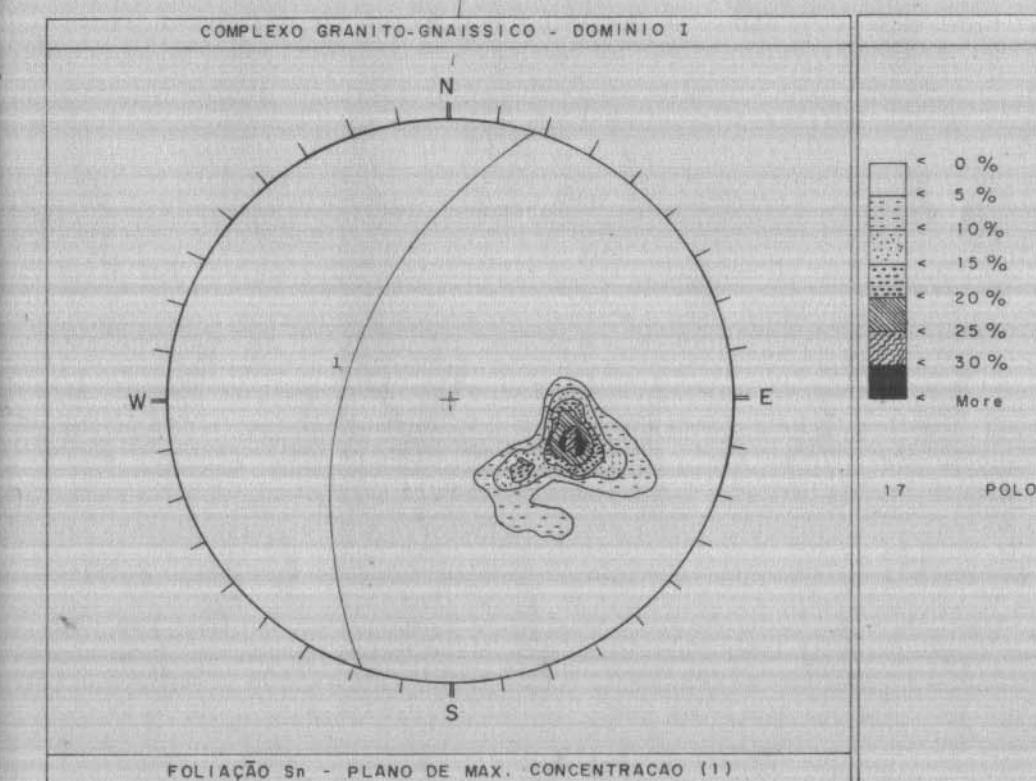
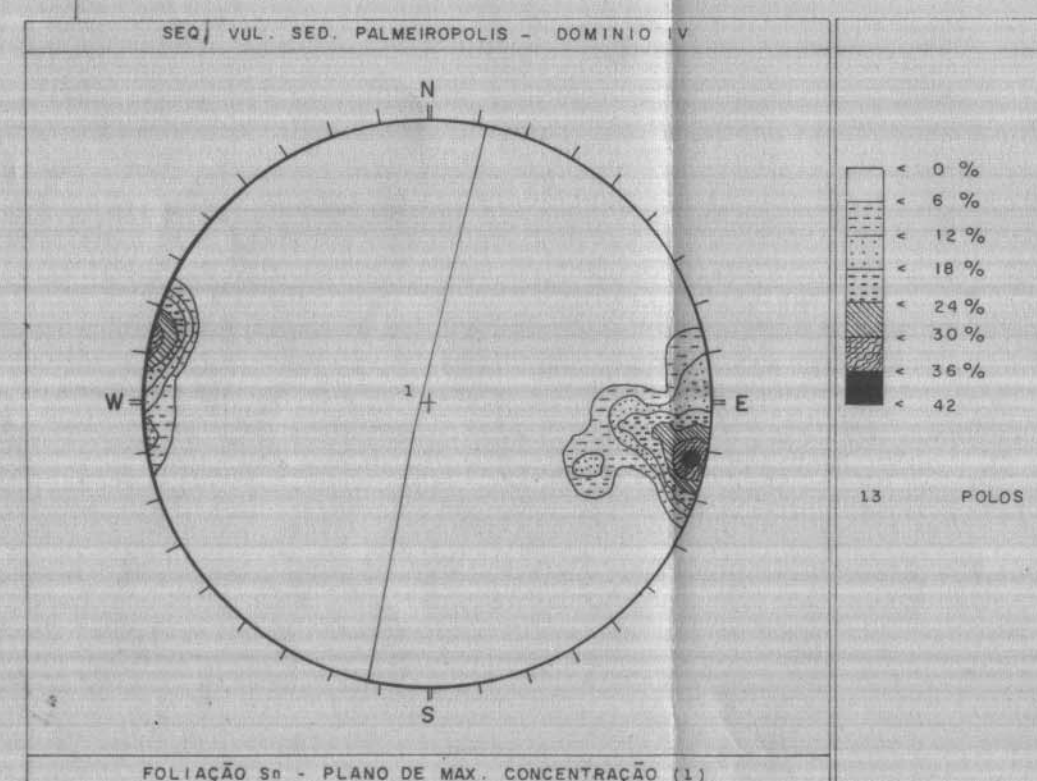
ESCALA - 1:25.000

DATA: 21 / 02 / 1997



LEGENDA

- 50 → DIREÇÃO E MERGULHO DE FOLIAÇÃO S₁
- FOLIAÇÃO S₁ VERTICAL
- LINEAÇÃO MINERAL
- LINEAÇÃO DE ESTIRAMENTO
- 10 ← LINEAÇÃO DE EIXO DE DOBRAS
- ⇌ INDICADOR CINEMÁTICO
- ACAMAMENTO IGNEO-SO
- FOTOLINEAMENTOS: FOLIAÇÃO
- FOTOLINEAMENTOS - QUEBRA POSITIVA DE RELEVO
- FOTOLINEAMENTOS - QUEBRA NEGATIVA DE RELEVO
- FOTOLINEAMENTOS - QUEBRA NEGATIVA DE RELEVO - DRENAGEM
- LINEAMENTOS DE IMAGENS DE SATÉLITE
- LINEAMENTOS DE IMAGENS DE RADAR
- DRENAGENS
- PONTOS DE DESCRIÇÃO DE AFLORAMENTO
- △ LÂMINA DELGADA ORIENTADAS



UNIVERSIDADE DE BRASÍLIA - UNB

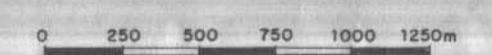
INSTITUTO DE GEOCIÊNCIAS

MAPA DE LINEAMENTOS E MEDIDAS ESTRUTURAIS

DISSERTAÇÃO DE MESTRADO Nº118 - THIERS MUNIZ LIMA

ESCALA 1:25.000

DATA 21/02/1997



ANFIBÓLIO - INTRUSÕES NORÍTICAS

ZONA AMOSTRA ANÁLISE	ZNC 4N2775A1 T23GF2	ZNC 4N2775A1 T23GF3	ZNC 4N2775A1 T23GF4	ZNC 4N2775A1 T23JF1	ZNC 4N2775A1 T23JF2	ZNC 4N2775A1 T23JF3	ZNC TLR349 T31FF1	ZNC TLR349 T31FF2	ZNC TLR349 T31GF1	ZNC TLR349 T31GF2	ZNC TLR349 T31HF1	ZNC TLR349 T31HF2
SiO2 %	49,406	50,39	50,754	51,315	51,438	50,396	46,7543	46,1588	46,4045	46,7664	46,6618	46,9203
TiO2 %	1,336	1,173	1,035	0,858	0,733	0,85	1,5162	1,5862	1,878	1,8007	1,2875	1,3922
Al2O3 %	8,34	7,46	7,119	6,966	6,838	7,798	10,4006	10,788	10,0557	10,0271	10,7554	10,6135
FeO %	9,45	8,897	8,679	8,539	8,46	8,832	12,219	12,4459	12,2576	11,9788	11,9748	11,8918
Cr2O3 %	0,276	0,166	0,192	0,138	0,163	0,188	0,4775	0,5404	0,5696	0,5499	0,4986	0,5581
MnO %	0,08	0,146	0,103	0,097	0,134	0,097	0,1403	0,1752	0,0865	0,1527	0,1445	0,1577
MgO %	15,651	16,232	16,624	16,694	17,032	16,567	13,4854	12,9333	12,954	12,9997	13,0928	13,1217
CaO %	11,686	11,796	12,009	12,142	12,005	12,227	10,6316	10,8224	10,7708	11,0865	10,573	10,505
Na2O %	0,884	0,819	0,669	0,699	0,645	0,811	0,9856	1,0232	1,081	0,9474	0,9723	0,9711
K2O %	0,664	0,556	0,565	0,43	0,474	0,592	0,8369	0,9056	0,9577	0,9044	0,8162	0,8506
H2O %	2,099	2,105	2,11	2,118	2,12	2,118	2,0605	2,0521	2,0456	2,0534	2,0507	2,0563
Total	99,872	99,74	99,859	99,996	100,042	100,476	99,5079	99,4311	99,061	99,267	98,8276	99,0383
TSi	7	7,124	7,157	7,221	7,21	7,08	6,682	6,644	6,722	6,763	6,714	6,736
TAI	1	0,876	0,843	0,779	0,79	0,92	1,318	1,356	1,278	1,237	1,286	1,264
TFe3	0	0	0	0	0	0	0	0	0	0	0	0
TTi	0	0	0	0	0	0	0	0	0	0	0	0
Sítio T	8	8	8	8	8	8	8	8	8	8	8	8
CAI	0,392	0,366	0,339	0,375	0,338	0,37	0,433	0,472	0,437	0,471	0,537	0,531
CCr	0,031	0,019	0,021	0,015	0,018	0,021	0,054	0,061	0,065	0,063	0,057	0,063
CFe3	0,382	0,343	0,351	0,278	0,414	0,341	0,824	0,689	0,542	0,443	0,732	0,711
CTi	0,142	0,125	0,11	0,091	0,077	0,09	0,163	0,172	0,205	0,196	0,139	0,15
CMg	3,306	3,421	3,494	3,502	3,559	3,47	2,873	2,775	2,797	2,803	2,809	2,808
CFe2	0,738	0,709	0,673	0,727	0,578	0,697	0,637	0,809	0,942	1,006	0,709	0,717
CMn	0,01	0,017	0,012	0,012	0,016	0,012	0,017	0,021	0,011	0,019	0,018	0,019
CCa	0	0	0	0	0	0	0	0	0	0	0	0
Total C	5	5	5	5	5	5	5	5	5	5	5	5
BMg	0	0	0	0	0	0	0	0	0	0	0	0
BFe2	0	0	0	0	0	0	0	0	0	0	0	0
BMn	0	0	0	0	0	0	0	0	0	0	0	0
BCa	1,774	1,787	1,814	1,831	1,803	1,84	1,628	1,669	1,672	1,718	1,63	1,616
BNa	0,226	0,213	0,183	0,169	0,175	0,16	0,273	0,286	0,304	0,266	0,271	0,27
Total B	2	2	1,997	2	1,978	2	1,901	1,955	1,975	1,984	1,901	1,886
ACa	0	0	0	0	0	0	0	0	0	0	0	0
ANa	0,017	0,011	0	0,021	0	0,061	0	0	0	0	0	0
AK	0,12	0,1	0,102	0,077	0,085	0,106	0,153	0,166	0,177	0,167	0,15	0,156
Total A	0,137	0,112	0,102	0,099	0,085	0,167	0,153	0,166	0,177	0,167	0,15	0,156
Total Cat.	15,137	15,112	15,099	15,099	15,063	15,167	15,054	15,121	15,152	15,15	15,051	15,042
CCI	0	0	0	0	0	0	0	0	0	0	0	0
CF	0	0	0	0	0	0	0	0	0	0	0	0
OH												
Oxig.	23	23	23	23	23	23	23	23	23	23	23	23

Tabela A.7 - Análises de anfibólio das Intrusões Noríticas

CLINOPIROXÊNIO - COMPLEXO DE CANA BRAVA

ZONA MEMBRO AMOSTRA ANÁLISE	ZMI									ZU		
	ZMI-SB	ZMI-SB	ZMI-P1	ZMI-P2	ZMI-P2	ZMI-M2	ZMI-M2	ZMI-M2	ZU-S1	ZU-P1	ZU-P1	
	L6000N-8100W <i>T06DC3</i>	TLR-196 <i>T01IC4</i>	L6000N-7225E <i>T15IC4</i>	L6000N-6000E <i>T16DC3</i>	TLR-152 <i>T37AC1</i>	L6000N-5970E <i>T38CC1</i>	L6000N-5750E <i>T03FC3</i>	L6000N-5450E <i>T07CC2</i>	G24 <i>Md 15 Anal.</i>	L400S-400W <i>T40FC1</i>	L400S-450W <i>T22FC5</i>	
SiO ₂ %	52,930	52,776	53,763	52,839	51,526	52,613	51,183	51,351	54,100	52,602	52,300	
TiO ₂ %	0,699	0,356	0,154	0,228	0,412	0,267	0,538	0,432	0,230	0,306	0,289	
Al ₂ O ₃ %	3,850	3,669	2,283	3,858	3,372	3,983	3,785	3,252	2,900	3,836	4,231	
Cr ₂ O ₃ %	0,491	0,948	0,657	0,345	0,131	0,502	0,083	0,084	0,510	0,621	0,594	
Fe ₂ O ₃ %	0,000	0,000	0,000	0,000	0,000	0,000	0,000	0,000	0,000	0,000	0,000	
FeO %	4,266	2,632	4,519	5,446	9,523	6,754	9,378	12,285	2,530	3,362	3,378	
MnO %	0,119	0,083	0,195	0,123	0,112	0,138	0,262	0,245	0,070	0,091	0,101	
NiO %	0,049	0,053	0,043	0,034	0,000	0,226	0,000	0,029	0,060	0,000	0,000	
MgO %	14,712	15,357	15,995	14,391	12,526	15,271	12,299	11,938	16,100	15,491	15,282	
CaO %	23,003	23,522	22,643	22,449	22,089	20,325	21,721	20,628	22,600	23,590	23,527	
Na ₂ O %	0,602	0,517	0,461	0,637	0,307	0,582	0,360	0,321	0,580	0,241	0,246	
K ₂ O %	0,040	0,003	0,000	0,025	0,000	0,002	0,006	0,000	0,020	0,014	0,000	
Total	100,761	99,916	100,713	100,375	99,998	100,663	99,615	100,565	99,700	100,154	99,948	
Normalização dos cátions na base de 6 oxigênios												
Si IV	1,922	1,924	1,954	1,932	1,926	1,921	1,919	1,927	1,973	1,916	1,909	
Al IV	0,078	0,076	0,046	0,068	0,074	0,079	0,081	0,073	0,027	0,084	0,091	
Sítio Tetr.	2,000	2,000	2,000	2,000	2,000	2,000	2,000	2,000	2,000	2,000	2,000	
Al VI	0,087	0,081	0,052	0,099	0,075	0,093	0,087	0,071	0,098	0,081	0,091	
Ti	0,019	0,010	0,004	0,006	0,012	0,007	0,015	0,012	0,006	0,008	0,008	
Cr	0,014	0,027	0,019	0,010	0,004	0,014	0,002	0,002	0,015	0,018	0,017	
Fe ⁺³	0,000	0,000	0,000	0,000	0,000	0,000	0,000	0,000	0,000	0,000	0,000	
Fe ⁺²	0,130	0,080	0,137	0,167	0,298	0,206	0,294	0,385	0,077	0,102	0,103	
Mn ⁺²	0,004	0,003	0,006	0,004	0,004	0,004	0,008	0,008	0,002	0,003	0,003	
Ni	0,001	0,002	0,001	0,001	0,000	0,007	0,000	0,001	0,002	0,000	0,000	
Mg	0,797	0,834	0,867	0,785	0,698	0,831	0,688	0,668	0,875	0,841	0,832	
Ca	0,895	0,919	0,882	0,880	0,885	0,795	0,873	0,829	0,883	0,921	0,920	
Na	0,042	0,037	0,032	0,045	0,022	0,041	0,026	0,023	0,041	0,017	0,017	
K	0,002	0,000	0,000	0,001	0,000	0,000	0,000	0,000	0,001	0,001	0,000	
Sítios M1, M2	1,991	1,992	2,000	1,997	1,997	1,999	1,994	2,000		1,993	1,992	
O	6,000	6,000	6,000	6,000	6,000	6,000	6,000	6,000		6,000	6,000	
Mg/Mg+Fe (MMF)	0,860	0,912	0,863	0,825	0,701	0,801	0,700	0,634	0,919	0,891	0,890	
En	43,6	45,5	45,8	42,8	37,1	45,3	36,9	35,3	47,6	45,1	44,8	
Fs	7,3	4,5	7,6	9,3	16,0	11,5	16,2	20,8	4,3	5,6	5,7	
Wo	49,0	50,0	46,6	47,9	47,0	43,3	46,9	43,9	48,1	49,3	49,5	

Tabela A1 - Análises químicas representativas de clinopiroxênio do Complexo de Cana Brava

CLINOPIROXÊNIO - COMPLEXO DE CANA BRAVA

ZONA MEMBRO AMOSTRA ANÁLISE	ZMS											
	ZMS-P1	ZMS-M1	ZMS-P2	ZMS-M3	ZMS-M3	ZMS-M3	AUTÓLITO	ZMS-P4	ZMS-P4	ZMS-P4	ZMS-P4	ZMS-M4
	L6000N-4230E	L6000N-3250E	L1000N-2450E	L6000N-2300E	L6000N-1850E	L6000N-1400E	TLR-403B	TLR-355B	TLR-408B	TLR-408C	TLR-103A	L2000N-00
	T17FC1	T08GC1	T28IC2	T53CO2	T10BC3	T43CC1	T14ACA2	T19AC3	T18DC4	T29GC2	T55CC2	T11GC1
SiO ₂ %	51,066	52,580	53,220	52,245	52,197	53,961	54,060	54,115	54,311	53,622	52,495	52,868
TiO ₂ %	0,749	0,187	0,505	0,470	0,191	0,115	0,195	0,291	0,226	0,212	0,275	0,103
Al ₂ O ₃ %	5,218	2,389	2,661	2,366	1,938	1,435	1,318	1,855	1,827	1,912	1,685	1,187
Cr ₂ O ₃ %	0,334	0,144	0,285	0,179	0,021	0,188	0,188	0,438	0,492	0,854	0,372	0,132
Fe ₂ O ₃ %	0,000	0,000	0,000	0,000	0,000	0,000	0,000	0,000	0,000	0,000	0,000	0,000
FeO %	5,329	8,667	4,682	7,471	10,944	7,790	5,810	3,326	3,673	3,899	5,676	8,520
MnO %	0,127	0,222	0,194	0,190	0,233	0,222	0,199	0,139	0,084	0,063	0,157	0,162
NiO %	0,050	0,000	0,000	0,071	0,048	0,030	0,000	0,000	0,000	0,000	0,000	0,000
MgO %	14,636	13,943	15,359	13,825	12,844	14,448	15,523	17,454	16,188	17,602	15,275	13,955
CaO %	22,689	21,908	22,885	22,534	21,475	22,129	22,912	22,564	23,567	21,208	23,424	22,470
Na ₂ O %	0,267	0,379	0,306	0,402	0,344	0,307	0,213	0,148	0,316	0,244	0,308	0,255
K ₂ O %	0,017	0,000	0,003	0,000	0,004	0,005	0,000	0,003	0,000	0,000	0,005	0,015
Total	100,482	100,420	100,100	99,753	100,239	100,630	100,418	100,333	100,684	99,616	99,672	99,667
Normalização dos cátions na base de 6 oxigênios												
Si IV	1,870	1,949	1,947	1,945	1,957	1,985	1,979	1,959	1,968	1,956	1,946	1,976
Al IV	0,130	0,051	0,053	0,055	0,043	0,015	0,021	0,041	0,032	0,044	0,054	0,024
Sítio Tetr.	2,000	2,000	2,000	2,000	2,000	2,000	2,000	2,000	2,000	2,000	2,000	2,000
Al VI	0,095	0,053	0,061	0,048	0,043	0,047	0,036	0,039	0,046	0,038	0,019	0,028
Ti	0,021	0,005	0,014	0,013	0,005	0,003	0,005	0,008	0,006	0,006	0,008	0,003
Cr	0,010	0,004	0,008	0,005	0,001	0,005	0,005	0,013	0,014	0,025	0,011	0,004
Fe ⁺³	0,000	0,000	0,000	0,000	0,000	0,000	0,000	0,000	0,000	0,000	0,000	0,000
Fe ⁺²	0,163	0,269	0,143	0,233	0,343	0,240	0,178	0,101	0,111	0,119	0,176	0,266
Mn ⁺²	0,004	0,007	0,006	0,006	0,007	0,007	0,006	0,004	0,003	0,002	0,005	0,005
Ni	0,001	0,000	0,000	0,002	0,001	0,001	0,000	0,000	0,000	0,000	0,000	0,000
Mg	0,799	0,770	0,837	0,767	0,718	0,792	0,847	0,942	0,874	0,957	0,844	0,777
Ca	0,890	0,870	0,897	0,899	0,863	0,872	0,899	0,875	0,915	0,829	0,930	0,900
Na	0,019	0,027	0,022	0,029	0,025	0,022	0,015	0,010	0,022	0,017	0,022	0,018
K	0,001	0,000	0,000	0,000	0,000	0,000	0,000	0,000	0,000	0,000	0,000	0,001
Sítios M1, M2	2,002	2,005	1,989	2,002	2,007	1,989	1,992	1,992	1,991	1,993	2,015	2,003
O	6,000	6,000	6,000	6,000	6,000	6,000	6,000	6,000	6,000	6,000	6,000	6,000
Mg/Mg+Fe (MMF)	0,830	0,741	0,854	0,767	0,677	0,768	0,826	0,903	0,887	0,889	0,828	0,745
En	43,0	40,2	44,5	40,3	37,2	41,5	43,9	49,0	45,9	50,2	43,2	39,9
Fs	9,0	14,4	7,9	12,5	18,2	12,9	9,5	5,5	6,0	6,3	9,3	13,9
Wo	48,0	45,4	47,6	47,2	44,7	45,6	46,6	45,5	48,1	43,5	47,6	46,2

Tabela A1 - Análises químicas representativas de clinopiroxênio do Complexo de Cana Brava (cont.)

CLINOPIROXÊNIO - COMPLEXO DE CANA BRAVA

ZONA MEMBRO AMOSTRA ANÁLISE	ZMS								
	ZMS-M4	ZMS-M4	ZMS-P5	ZMS-P6	ZMS-M6	ZMS-M6	ZMS-P7	ZMS-M7	XENÓLITO
	L2000N-550W T04CC3	L2000N-1000W T58AO3	TLR-360 T27DC3	L3000N-1300W T20GO1	L2000N-1600W T60EC1	L2000N-1700W T13FC3	L2000N-1870W T21IC2	L2000N-2600W T05GC5	TLR-348BX T33BC3
SiO ₂ %	52,906	53,003	54,049	54,005	54,307	54,150	54,047	52,728	53,263
TiO ₂ %	0,131	0,152	0,213	0,242	0,202	0,160	0,218	0,090	0,155
Al ₂ O ₃ %	1,378	1,605	1,177	1,453	1,181	1,113	1,170	1,511	1,290
Cr ₂ O ₃ %	0,075	0,130	0,190	0,353	0,171	0,138	0,347	0,048	0,055
Fe ₂ O ₃ %	0,000	0,000	0,000	0,000	0,000	0,000	0,000	0,000	0,000
FeO %	10,073	10,215	6,169	5,198	4,414	5,355	5,107	10,778	8,180
MnO %	0,406	0,336	0,177	0,117	0,087	0,142	0,123	0,299	0,161
NiO %	0,020	0,000	0,000	0,000	0,119	0,000	0,000	0,015	0,000
MgO %	12,923	13,108	14,662	15,117	15,875	15,678	15,741	13,253	14,059
CaO %	22,308	21,877	22,931	23,623	23,587	23,547	23,460	20,578	22,597
Na ₂ O %	0,291	0,284	0,242	0,236	0,250	0,250	0,270	0,305	0,278
K ₂ O %	0,005	0,018	0,000	0,006	0,000	0,000	0,018	0,000	0,019
Total	100,516	100,728	99,810	100,350	100,193	100,533	100,501	99,605	100,057
Normalização dos cátions na base de 6 oxigênios									
Si IV	1,974	1,971	1,993	1,977	1,984	1,980	1,976	1,981	1,978
Al IV	0,026	0,029	0,007	0,023	0,016	0,020	0,024	0,019	0,022
Sítio Tetr.	2,000	2,000	2,000	2,000	2,000	2,000	2,000	2,000	2,000
Al VI	0,035	0,042	0,044	0,040	0,035	0,028	0,026	0,048	0,035
Ti	0,004	0,004	0,006	0,007	0,006	0,004	0,006	0,003	0,004
Cr	0,002	0,004	0,006	0,010	0,005	0,004	0,010	0,001	0,002
Fe ⁺³	0,000	0,000	0,000	0,000	0,000	0,000	0,000	0,000	0,000
Fe ⁺²	0,314	0,318	0,190	0,159	0,135	0,164	0,156	0,339	0,254
Mn ⁺²	0,013	0,011	0,006	0,004	0,003	0,004	0,004	0,010	0,005
Ni	0,001	0,000	0,000	0,000	0,003	0,000	0,000	0,000	0,000
Mg	0,719	0,727	0,806	0,825	0,865	0,854	0,858	0,742	0,778
Ca	0,892	0,872	0,906	0,927	0,923	0,922	0,919	0,828	0,899
Na	0,021	0,020	0,017	0,017	0,018	0,018	0,019	0,022	0,020
K	0,000	0,001	0,000	0,000	0,000	0,000	0,001	0,000	0,001
Sítios M1, M2	2,001	1,998	1,981	1,988	1,992	1,999	1,998	1,993	1,999
O	6,000	6,000	6,000	6,000	6,000	6,000	6,000	6,000	6,000
Mg/Mg+Fe (MMF)	0,696	0,696	0,809	0,838	0,865	0,839	0,846	0,687	0,754
En	37,1	37,7	42,2	43,1	44,9	43,9	44,3	38,7	40,2
Fs	16,9	17,0	10,3	8,5	7,1	8,6	8,3	18,1	13,4
Wo	46,0	45,2	47,5	48,4	48,0	47,4	47,4	43,2	46,4

Tabela A1 - Análises químicas representativas de clinopiroxênio do Complexo de Cana Brava (cont.)

CROMO-ESPINÉLIO - COMPLEXO DE CANA BRAVA**ESPINÉLIO VERDE - COMPLEXO DE CANA BRAVA**

ZONA	ZU	ZU	ZMS	ZONA	ZMI	ZMI	ZMS
MEMBRO	ZU-S1	ZU-CAVAB	ZMS-P4	MEMBRO	ZMI-SB	ZMI-P2	ZMS-P4
AMOSTRA	L400S-85E	CAVAB	TLR-355B	AMOSTRA	TLR-196	L6000N-6000E	TLR-355B
ANÁLISE	T34BR1	T64AR3	T19KR1	ANÁLISE	T01LS5	T16OS4	T19LSA2
SiO2 %	0,029	0,000	0,000	SiO2 %	0,018	0,115	0,000
Al2O3 %	25,257	34,089	30,324	Al2O3 %	51,910	59,448	52,405
MgO %	7,882	11,885	8,345	MgO %	15,371	11,904	13,882
CaO %	0,008	0,012	0,053	CaO %	0,000	0,025	0,038
TiO2 %	0,223	0,181	0,174	TiO2 %	0,000	0,021	0,087
Cr2O3 %	33,552	29,774	34,723	Cr2O3 %	13,244	2,037	13,106
MnO %	0,417	0,429	0,315	MnO %	0,182	0,191	0,234
FeO %	22,836	18,033	23,001	FeO %	15,899	22,149	18,204
NiO %	0,055	0,085	0,121	NiO %	0,178	0,227	0,213
ZnO %	0,555	0,315	0,416	ZnO %	0,059	0,519	0,239
V2O5 %	0,000	0,000	0,000	V2O5 %	0,000	0,000	0,000
Fe2O3%	9,207	4,295	2,144	Fe2O3%	2,219	3,349	1,409
Total	100,021	99,098	99,616	Total	99,079	99,985	99,817
Si	0,001	0,000	0,000	Si	0,000	0,003	0,000
Al	0,937	1,196	1,099	Al	1,667	1,885	1,685
Mg	0,371	0,529	0,384	Mg	0,627	0,479	0,567
Ca	0,000	0,000	0,002	Ca	0,000	0,001	0,001
Ti	0,005	0,004	0,004	Ti	0,000	0,000	0,002
Cr	0,838	0,704	0,848	Cr	0,287	0,044	0,284
Mn	0,011	0,011	0,008	Mn	0,004	0,004	0,005
Fe ⁺²	0,603	0,451	0,594	Fe ⁺²	0,364	0,500	0,417
Ni	0,001	0,002	0,003	Ni	0,004	0,005	0,005
Zn	0,013	0,007	0,009	Zn	0,001	0,010	0,005
V	0,000	0,000	0,000	V	0,000	0,000	0,000
Fe ⁺³	0,219	0,097	0,050	Fe ⁺³	0,046	0,068	0,029
Total Cátions	3,000	3,000	3,000	Total Cátions	3,000	3,000	3,000
Fe ⁺² /Fe ⁺² +Mg	0,62	0,46	0,61	Fe ⁺² /Fe ⁺² +Mg	0,37	0,51	0,42
Cr/Cr+Al	0,47	0,37	0,44	Cr/Cr+Al	0,15	0,02	0,14
Fe ⁺³ /Fe ⁺³ +Al+Cr	0,11	0,05	0,02	Fe ⁺³ /Fe ⁺³ +Al+Cr	0,02	0,03	0,01
Ti/Ti+Al+Cr	0,00	0,00	0,00	Ti/Ti+Al+Cr	0,00	0,00	0,00

Tabela A.5 - Análises químicas representativas de cromo-espinélio e espinélio verde do Complexo de Cana Brava

ZONA AMOSTRA ANÁLISE	MICA - INTRUSÕES NORÍTICAS								MICA - COMPLEXO DE CANA BRAVA					
	ZNC	ZNC	ZNC	ZNC	ZNB	ZNB	ZNB	ZNB	ZMS-P5	ZMS-P5	ZMS-P5	ZMS-P5	ZMS-P5	ZMS-P5
	TLR-349 T31EB2	TLR-349 T31EB2	TLR-349 T31CB1	TLR-349 T31CB2	L2000N-2700W T30IB1	L2000N-2700W T30IB2	L2000N-2700W T30IBB1	L2000N-2700W T30IBB2	TLR-360 T27FB1	TLR-360 T27FB2	TLR-360 T27FB3	TLR-360 T27?B1	TLR-360 T27?B2	TLR-360 T27?B3
SiO2 %	37,429	37,260	37,477	37,475	37,617	37,559	36,902	37,597	38,112	38,336	38,372	38,492	38,791	39,059
TiO2 %	3,727	4,087	4,040	4,160	3,497	3,626	3,477	3,572	4,914	4,707	4,708	4,899	4,537	4,546
Al2O3 %	15,567	15,718	15,430	15,572	16,508	16,717	16,226	16,001	14,928	14,840	14,929	14,700	15,006	15,098
Cr2O3 %	0,139	0,183	0,171	0,223	0,365	0,332	0,333	0,356	0,830	0,874	0,934	0,799	0,748	0,709
Fe2O3 %	0,461	0,451	0,470	0,310	0,500	0,576	0,489	0,394	0,903	0,893	0,878	0,918	1,172	1,018
FeO %	13,711	13,776	13,334	13,266	13,152	13,290	14,098	14,084	9,083	9,315	9,089	9,255	9,075	9,488
MnO %	0,000	0,015	0,122	0,096	0,000	0,037	0,055	0,000	0,039	0,025	0,010	0,000	0,017	0,000
MgO %	14,346	14,530	14,543	14,526	14,214	14,185	14,092	14,296	16,381	16,419	16,455	16,803	16,743	16,762
BaO %	0,000	0,000	0,000	0,000	0,000	0,000	0,073	0,000	0,279	0,128	0,152	0,187	0,269	0,245
CaO %	0,001	0,000	0,000	0,000	0,000	0,000	0,008	0,021	0,005	0,002	0,020	0,045	0,014	0,005
Na2O %	0,039	0,002	0,041	0,057	0,086	0,138	0,106	0,157	0,115	0,112	0,090	0,084	0,065	0,048
K2O %	9,721	9,774	9,872	9,833	9,795	9,589	9,267	9,259	9,741	9,838	9,735	9,824	9,769	9,669
H2O %	3,872	3,899	3,883	3,942	3,901	3,890	3,857	3,923	3,802	3,814	3,820	3,827	3,757	3,829
F %	0,189	0,179	0,182	0,117	0,205	0,243	0,194	0,146	0,379	0,373	0,364	0,384	0,492	0,422
Cl %	0,036	0,044	0,062	0,049	0,028	0,019	0,051	0,070	0,038	0,033	0,042	0,039	0,047	0,051
TOTAL	99,238	99,918	99,627	99,626	99,868	100,200	99,228	99,876	99,549	99,709	99,598	100,256	100,503	100,948
O=F	0,080	0,076	0,076	0,049	0,086	0,102	0,082	0,061	0,159	0,157	0,153	0,161	0,207	0,177
O=Cl	0,008	0,010	0,014	0,011	0,006	0,004	0,011	0,016	0,008	0,008	0,010	0,009	0,011	0,011
Total	99,151	99,832	99,536	99,566	99,775	100,094	99,135	99,799	99,381	99,544	99,435	100,085	100,285	100,759
Si IV	5,579	5,522	5,566	5,556	5,554	5,527	5,509	5,561	5,584	5,607	5,609	5,599	5,626	5,635
Al IV	2,421	2,478	2,434	2,444	2,446	2,473	2,491	2,439	2,416	2,393	2,391	2,401	2,374	2,365
Fe IV	0,000	0,000	0,000	0,000	0,000	0,000	0,000	0,000	0,000	0,000	0,000	0,000	0,000	0,000
Ti IV	0,000	0,000	0,000	0,000	0,000	0,000	0,000	0,000	0,000	0,000	0,000	0,000	0,000	0,000
T site	8,000	8,000	8,000	8,000	8,000	8,000	8,000	8,000	8,000	8,000	8,000	8,000	8,000	8,000
Al VI	0,314	0,268	0,267	0,277	0,427	0,427	0,363	0,350	0,162	0,165	0,181	0,120	0,191	0,202
Ti VI	0,418	0,456	0,451	0,464	0,388	0,401	0,390	0,397	0,541	0,518	0,518	0,536	0,495	0,493
Cr	0,016	0,021	0,020	0,026	0,043	0,039	0,039	0,042	0,096	0,101	0,108	0,092	0,086	0,081
Fe +3	0,052	0,050	0,052	0,035	0,056	0,064	0,055	0,044	0,100	0,098	0,097	0,100	0,128	0,111
Fe +2	1,709	1,707	1,656	1,645	1,624	1,636	1,760	1,742	1,113	1,139	1,111	1,126	1,101	1,145
Mn +2	0,000	0,002	0,015	0,012	0,000	0,005	0,007	0,000	0,005	0,003	0,001	0,000	0,002	0,000
Mg	3,188	3,210	3,220	3,210	3,129	3,112	3,136	3,152	3,578	3,580	3,586	3,644	3,620	3,605
O site	5,697	5,715	5,682	5,669	5,665	5,683	5,751	5,727	5,594	5,604	5,601	5,618	5,623	5,637
Ba	0,000	0,000	0,000	0,000	0,000	0,000	0,004	0,000	0,016	0,007	0,009	0,011	0,015	0,014
Ca	0,000	0,000	0,000	0,000	0,000	0,000	0,001	0,003	0,001	0,000	0,003	0,007	0,002	0,001
Na	0,011	0,001	0,012	0,016	0,025	0,039	0,031	0,045	0,033	0,032	0,026	0,024	0,018	0,013
K	1,849	1,848	1,870	1,860	1,845	1,800	1,765	1,747	1,821	1,836	1,815	1,823	1,808	1,780
A site	1,860	1,849	1,882	1,876	1,870	1,840	1,801	1,795	1,870	1,875	1,853	1,864	1,843	1,808
O	20,052	20,050	20,052	20,035	20,056	20,064	20,055	20,044	20,100	20,098	20,097	20,100	20,128	20,111
OH	3,850	3,855	3,847	3,898	3,842	3,819	3,841	3,870	3,716	3,721	3,725	3,713	3,635	3,685
F	0,089	0,084	0,085	0,055	0,096	0,113	0,092	0,068	0,175	0,173	0,168	0,176	0,226	0,192
Cl	0,009	0,011	0,016	0,012	0,007	0,005	0,013	0,018	0,009	0,008	0,011	0,010	0,012	0,012
Fe/Fe+Mg	0,35	0,35	0,34	0,34	0,34	0,34	0,36	0,36	0,24	0,24	0,24	0,24	0,23	0,24

Tabela A8 - Análise de micas do Complexo de Cana Brava e Intrusões Noríticas

OLIVINA - COMPLEXO DE CANA BRAVA

ZONA	ZMI	ZU	ZMS	ZMS
MEMBRO	ZMI-SB	ZU-S1	ZMS-P3	ZMS-P4
AMOSTRA	TLR-196	CAVAB	L5000N-2500E	TLR-355B
ANÁLISE	T01GL3	T64FL1	T26DL2B	T19GL3
SiO ₂ %	40,090	41,032	38,266	39,407
TiO ₂ %	0,020	0,000	0,000	0,014
Al ₂ O ₃ %	0,013	0,011	0,328	0,000
FeO %	14,651	10,541	23,851	17,197
MnO %	0,147	0,188	0,241	0,193
Cr ₂ O ₃ %	0,000	0,033	0,000	0,000
MgO %	45,013	47,601	37,581	42,736
CaO %	0,016	0,036	0,015	0,014
Na ₂ O %	0,000	0,000	0,000	0,000
NiO %	0,286	0,253	0,119	0,158
Total	100,240	99,700	100,400	99,720
Normalização de cátions na base de 4 oxigênios				
Si	1,002	1,011	0,998	1,003
Al	0,000	0,000	0,010	0,000
Ti	0,000	0,000	0,000	0,000
Fe ²	0,306	0,217	0,520	0,366
Mn	0,003	0,004	0,005	0,004
Mg	1,678	1,749	1,461	1,621
Ca	0,000	0,001	0,000	0,000
Na	0,000	0,000	0,000	0,000
Ni	0,006	0,005	0,002	0,003
Total	2,995	2,987	2,996	2,997
Fo	84,6	89,0	73,8	81,6
Fs	15,2	10,7	26,2	18,7

Tabela A4 - Análises químicas representativas de olivina do Complexo de Cana Brava

ORTOPIROXÊNIO - COMPLEXO DE CANA BRAVA

ZONA MEMBRO LÂMINA AMOSTRA	ZMI									
	ZMI-SB	ZMI-SB	ZMI-P1	ZMI-P1	ZMI-M1	ZMI-P2	ZMI-P2	ZMI-M2	ZMI-M2	ZMI-M2
	L6000N-8100E	TLR-196	L5000N-7280E	L6000N-7225E	L6000N-7125E	L6000N-6000E	TLR-152	L6000N-5970E	L6000N-5750E	L6000N-5450E
	T06BO1	T01KO2	T49DO2	T15EO2	T02AO2	T16EO2	T37CO2	T38BO1	T03HO4	T07IO1
SiO ₂ %	54,761	56,538	54,796	55,289	51,655	53,513	51,963	53,165	51,967	51,408
TiO ₂ %	0,148	0,047	0,202	0,046	0,046	0,044	0,103	0,089	0,099	0,102
Al ₂ O ₃ %	2,304	1,550	1,674	1,760	1,501	3,857	2,258	4,414	2,061	1,807
Cr ₂ O ₃ %	0,240	0,019	0,216	0,294	0,031	0,000	0,070	0,069	0,049	0,035
Fe ₂ O ₃ %	0,000	0,000	0,000	0,000	0,000	0,000	0,000	0,000	0,000	0,000
FeO %	13,686	9,888	15,412	14,490	28,197	16,927	25,013	16,938	24,865	28,019
MnO %	0,279	0,136	0,204	0,189	0,420	0,262	0,358	0,310	0,454	0,552
NiO %	0,089	0,058	0,090	0,038	0,000	0,038	0,030	0,100	0,075	0,000
MgO %	28,411	32,028	27,154	28,699	18,332	26,113	19,633	25,396	19,859	17,542
CaO %	0,764	0,150	0,496	0,250	0,387	0,284	0,814	0,220	0,365	0,817
Na ₂ O %	0,033	0,003	0,000	0,000	0,000	0,000	0,016	0,000	0,016	0,000
K ₂ O %	0,018	0,005	0,001	0,001	0,004	0,000	0,001	0,000	0,007	0,018
Total	100,733	100,422	100,245	101,056	100,573	101,038	100,259	100,701	99,817	100,300
Normalização de cátions na base de 6 oxigênios										
Si IV	1,943	1,969	1,966	1,958	1,965	1,916	1,954	1,911	1,961	1,963
Al IV	0,057	0,031	0,034	0,042	0,035	0,084	0,046	0,089	0,039	0,037
Sítio Tetr.	2,000	2,000	2,000	2,000	2,000	2,000	2,000	2,000	2,000	2,000
Al VI	0,040	0,033	0,036	0,031	0,032	0,079	0,054	0,098	0,052	0,044
Ti	0,004	0,001	0,005	0,001	0,001	0,001	0,003	0,002	0,003	0,003
Cr	0,007	0,001	0,006	0,008	0,001	0,000	0,002	0,002	0,001	0,001
Fe ⁺³	0,000	0,000	0,000	0,000	0,000	0,000	0,000	0,000	0,000	0,000
Fe ⁺²	0,406	0,288	0,462	0,429	0,897	0,507	0,787	0,509	0,784	0,895
Mn ⁺²	0,008	0,004	0,006	0,006	0,014	0,008	0,011	0,009	0,015	0,018
Ni	0,003	0,002	0,003	0,001	0,000	0,001	0,001	0,003	0,002	0,000
Mg	1,503	1,663	1,452	1,515	1,039	1,394	1,101	1,361	1,117	0,998
Ca	0,029	0,006	0,019	0,009	0,016	0,011	0,033	0,008	0,015	0,033
Na	0,002	0,000	0,000	0,000	0,000	0,000	0,001	0,000	0,001	0,000
K	0,001	0,000	0,000	0,000	0,000	0,000	0,000	0,000	0,000	0,001
Sítios M1,M2	2,003	1,998	1,990	2,000	2,000	2,001	1,993	1,992	1,991	1,993
O	6,000	6,000	6,000	6,000	6,000	6,000	6,000	6,000	6,000	6,000
Mg\Mg+Fe (MMF)	0,787	0,852	0,758	0,779	0,537	0,733	0,583	0,728	0,587	0,527
En	77,2	84,8	74,9	77,3	52,9	72,6	57,0	72,1	57,9	51,4
Fs	21,3	14,9	24,2	22,2	46,3	26,8	41,3	27,5	41,4	46,9
Wo	1,5	0,3	1,0	0,5	0,8	0,6	1,7	0,4	0,8	1,7

Tabela A2 - Análises químicas representativas de ortopiroxênio do Complexo de Cana Brava e Intrusões Noríticas

ORTOPIROXÊNIO - COMPLEXO DE CANA BRAVA

ZONA MEMBRO LÂMINA AMOSTRA	ZU			ZMS						
	ZU-S1	ZU-P1	ZU-P1	ZMS-P1	ZMS-P1	ZMS-P1	ZMS-M1	ZMS-P2	ZMS-P3	ZMS-M3
	G24OPX	L400S-400W	L400S-450W	L6000N-4230E	L6000N-4220E	L6000N-4200E	L6000N-3250E	L1000N-2450E	L5000N-2500E	L6000N-2300E
	<i>Md 15 Anal.</i>	<i>T40CO2</i>	<i>T22EO2</i>	<i>T17EO1</i>	<i>T45GO1</i>	<i>T50EO2</i>	<i>T08IO3</i>	<i>T28EO1</i>	<i>T26DO1</i>	<i>T53AO3</i>
SiO2 %	56,900	55,223	54,342	53,362	52,769	53,133	52,722	55,512	54,476	53,376
TiO2 %	0,070	0,066	0,084	0,083	0,076	0,083	0,116	0,075	0,163	0,081
Al2O3 %	2,500	3,339	3,983	3,927	4,264	2,593	1,695	1,451	3,015	1,342
Cr2O3 %	0,290	0,412	0,406	0,285	0,087	0,185	0,073	0,206	0,109	0,056
Fe2O3 %	0,000	0,000	0,000	0,000	0,000	0,000	0,000	0,000	0,000	0,000
FeO %	7,600	10,528	10,158	15,214	16,634	17,770	21,928	14,710	14,552	20,783
MnO %	0,200	0,220	0,234	0,337	0,291	0,218	0,479	0,275	0,152	0,483
NiO %	0,050	0,056	0,016	0,000	0,015	0,000	0,010	0,076	0,035	0,096
MgO %	32,500	30,153	30,002	26,765	25,677	25,214	21,821	27,999	27,823	22,745
CaO %	0,310	0,343	0,368	0,430	0,288	0,318	0,493	0,319	0,529	0,506
Na2O %	0,000	0,002	0,005	0,002	0,000	0,000	0,000	0,002	0,006	0,000
K2O %	0,000	0,021	0,016	0,000	0,001	0,000	0,000	0,018	0,000	0,001
Total	100,420	100,363	99,614	100,405	100,102	99,514	99,337	100,643	100,860	99,469
Normalização de cátions na base de 6 oxigênios										
Si IV	1,971	1,934	1,916	1,911	1,907	1,942	1,971	1,975	1,934	1,981
Al IV	0,029	0,066	0,084	0,089	0,093	0,058	0,029	0,025	0,066	0,019
Sítio Tetr.	2,000	2,000	2,000	2,000	2,000	2,000	2,000	2,000	2,000	2,000
Al VI	0,073	0,072	0,081	0,077	0,088	0,054	0,045	0,036	0,060	0,040
Ti	0,002	0,002	0,002	0,002	0,002	0,002	0,003	0,002	0,004	0,002
Cr	0,008	0,011	0,011	0,008	0,002	0,005	0,002	0,006	0,003	0,002
Fe ⁺³	0,000	0,000	0,000	0,000	0,000	0,000	0,000	0,000	0,000	0,000
Fe ⁺²	0,220	0,308	0,300	0,456	0,503	0,543	0,685	0,438	0,432	0,645
Mn ⁺²	0,006	0,007	0,007	0,010	0,009	0,007	0,015	0,008	0,005	0,015
Ni	0,001	0,002	0,000	0,000	0,000	0,000	0,000	0,002	0,001	0,003
Mg	1,678	1,574	1,577	1,429	1,383	1,374	1,216	1,485	1,472	1,259
Ca	0,012	0,013	0,014	0,017	0,011	0,012	0,020	0,012	0,020	0,020
Na	0,000	0,000	0,000	0,000	0,000	0,000	0,000	0,000	0,000	0,000
K	0,000	0,001	0,001	0,000	0,000	0,000	0,000	0,001	0,000	0,000
Sítios M1,M2	2,000	1,990	1,994	1,999	1,999	1,997	1,988	1,990	1,998	1,986
O		6,000	6,000	6,000	6,000	6,000	6,000	6,000	6,000	6,000
Mg/Mg+Fe (MMF)	0,884	0,836	0,840	0,758	0,733	0,717	0,639	0,772	0,773	0,661
En	87,6	82,8	83,1	74,8	72,6	71,0	62,8	76,4	76,3	64,9
Fs	11,8	16,6	16,2	24,4	26,8	28,4	36,2	23,0	22,6	34,1
Wo	0,6	0,7	0,7	0,9	0,6	0,6	1,0	0,6	1,0	1,0

Tabela A2 - Análises químicas representativas de ortopiroxênio do Complexo de Cana Brava e Intrusões Noríticas (cont.)

ORTOPIROXÊNIO - COMPLEXO DE CANA BRAVA

ZONA MEMBRO LÂMINA AMOSTRA	ZMS											
	ZMS-M3	ZMS-M3	AUTÓLITO	ZMS-P4	ZMS-P4	ZMS-P4	ZMS-P4	ZMS-P4	ZMS-M4	ZMS-M4	ZMS-M4	XENÓLITO
	L6000N-1850E	L6000N-1400E	TLR-403B	L6000N-1350E	TLR-355B	TLR-408B	TLR-408C	TLR-103A	L2000N-00	L2000N-550W	L2000N-1000W	TLR-348X
	T10HO1	T41FO1	T14BO3	T54DO2	T19DO3	T18BO3	T29HO2	T55BO2	T11DO2	T04DO3	T58DO2	T67EC2
SiO ₂ %	51,890	53,176	54,521	55,067	55,608	55,454	55,484	53,408	52,364	52,546	52,311	52,052
TiO ₂ %	0,099	0,126	0,075	0,084	0,099	0,057	0,090	0,073	0,049	0,148	0,086	0,070
Al ₂ O ₃ %	1,198	1,035	1,008	0,898	2,237	1,551	1,662	1,006	0,876	0,910	0,917	1,133
Cr ₂ O ₃ %	0,002	0,096	0,034	0,242	0,436	0,511	0,429	0,212	0,028	0,015	0,036	0,000
Fe ₂ O ₃ %	0,000	0,000	0,000	0,000	0,000	0,000	0,000	0,000	0,000	0,000	0,000	0,000
FeO %	26,697	23,056	19,275	15,099	10,770	13,203	11,344	19,251	25,497	26,317	26,879	24,969
MnO %	0,424	0,590	0,371	0,218	0,186	0,185	0,165	0,492	0,552	0,622	0,714	0,665
NiO %	0,058	0,015	0,000	0,066	0,000	0,048	0,085	0,000	0,000	0,034	0,000	0,000
MgO %	18,504	21,209	24,554	27,193	30,651	29,074	29,730	25,052	20,110	19,342	18,925	19,708
CaO %	0,763	0,616	0,313	0,415	0,339	0,480	0,845	0,292	0,491	0,591	0,615	0,445
Na ₂ O %	0,004	0,000	0,000	0,000	0,008	0,000	0,020	0,000	0,000	0,000	0,000	0,000
K ₂ O %	0,000	0,000	0,007	0,000	0,000	0,000	0,015	0,030	0,010	0,000	0,000	0,000
Total	99,639	99,919	100,158	99,282	100,334	100,563	99,869	99,816	99,977	100,525	100,483	99,042
Normalização de cátions na base de 6 oxigênios												
Si IV	1,981	1,987	1,990	1,991	1,950	1,964	1,964	1,964	1,980	1,983	1,982	1,983
Al IV	0,019	0,013	0,010	0,009	0,050	0,036	0,036	0,036	0,020	0,017	0,018	0,017
Sítio Tetr.	2,000	2,000	2,000	2,000	2,000	2,000	2,000	2,000	2,000	2,000	2,000	2,000
Al VI	0,035	0,033	0,034	0,029	0,043	0,028	0,033	0,008	0,019	0,024	0,023	0,034
Ti	0,003	0,004	0,002	0,002	0,003	0,002	0,002	0,002	0,001	0,004	0,002	0,002
Cr	0,000	0,003	0,001	0,007	0,012	0,014	0,012	0,006	0,001	0,000	0,001	0,000
Fe ⁺³	0,000	0,000	0,000	0,000	0,000	0,000	0,000	0,000	0,000	0,000	0,000	0,000
Fe ⁺²	0,852	0,721	0,588	0,456	0,316	0,391	0,336	0,592	0,806	0,831	0,852	0,795
Mn ⁺²	0,014	0,019	0,011	0,007	0,006	0,006	0,005	0,015	0,018	0,020	0,023	0,022
Ni	0,002	0,000	0,000	0,002	0,000	0,001	0,002	0,000	0,000	0,001	0,000	0,000
Mg	1,053	1,182	1,336	1,465	1,603	1,535	1,569	1,373	1,134	1,088	1,069	1,119
Ca	0,031	0,025	0,012	0,016	0,013	0,018	0,032	0,012	0,020	0,024	0,025	0,018
Na	0,000	0,000	0,000	0,000	0,001	0,000	0,001	0,000	0,000	0,000	0,000	0,000
K	0,000	0,000	0,000	0,000	0,000	0,000	0,001	0,001	0,000	0,000	0,000	0,000
Sítios M1,M2	1,990	1,985	1,986	1,985	1,995	1,995	1,994	2,010	1,999	1,992	1,995	1,990
O	6,000	6,000	6,000	6,000	6,000	6,000	6,000	6,000	6,000	6,000	6,000	6,000
Mg/Mg+Fe (MMF)	0,553	0,621	0,694	0,762	0,835	0,797	0,824	0,699	0,584	0,567	0,557	0,585
En	54,0	60,7	68,6	75,4	82,7	78,7	80,8	68,9	57,3	55,4	54,3	57,3
Fs	44,4	38,0	30,8	23,8	16,6	20,3	17,6	30,5	41,7	43,3	44,4	41,8
Wo	1,6	1,3	0,6	0,8	0,7	0,9	1,7	0,6	1,0	1,2	1,3	0,9

Tabela A2 - Análises químicas representativas de ortopiroxênio do Complexo de Cana Brava e Intrusões Noríticas (cont.)

ORTOPIROXÊNIO - COMPLEXO DE CANA BRAVA

ZONA MEMBRO LÂMINA AMOSTRA	ZMS									
	ZMS-P5	ZMS-M5	ZMS-P6	ZMS-M6	ZMS-M6	ZMS-M6	ZMS-P7	ZMS-M7	ZMS-M7	XENÓLITO
	TLR-360 T27CO1	L2000N-1275W T12GO2	L3000N-1300W T20HO1	L2000N-1325E T59CO3	L2000N-1600W T60BO1	L2000N-1700W T13JO2	L2000N-1870W T21HO2	L2000N-2250W T65JO2	L2000N-2600W T05AO5	L1000N-2575BW T32CO1
SiO ₂ %	54,082	51,780	54,768	52,507	55,143	54,992	55,253	53,219	51,999	51,458
TiO ₂ %	0,045	0,053	0,112	0,068	0,046	0,090	0,121	0,071	0,066	0,031
Al ₂ O ₃ %	0,855	0,818	1,165	0,811	0,997	1,001	1,041	1,038	0,970	1,458
Cr ₂ O ₃ %	0,163	0,008	0,298	0,114	0,136	0,084	0,182	0,131	0,051	0,014
Fe ₂ O ₃ %	0,000	0,000	0,000	0,000	0,000	0,000	0,000	0,000	0,000	0,000
FeO %	20,585	27,810	16,965	26,108	15,159	17,160	16,374	22,630	26,650	29,568
MnO %	0,442	0,652	0,406	0,546	0,311	0,353	0,306	0,630	0,736	0,665
NiO %	0,000	0,000	0,000	0,000	0,020	0,070	0,000	0,000	0,010	0,053
MgO %	23,344	18,569	26,058	19,464	27,795	26,529	27,241	21,328	18,880	16,901
CaO %	0,404	0,449	0,581	0,420	0,258	0,415	0,390	0,433	0,530	0,414
Na ₂ O %	0,000	0,000	0,000	0,000	0,000	0,000	0,000	0,014	0,000	0,000
K ₂ O %	0,000	0,000	0,017	0,000	0,000	0,000	0,000	0,000	0,008	0,034
Total	99,920	100,139	100,370	100,038	99,865	100,694	100,908	99,494	99,900	100,596
Normalização de cátions na base de 6 oxigênios										
Si IV	1,994	1,978	1,978	1,988	1,982	1,979	1,977	1,992	1,981	1,972
Al IV	0,006	0,022	0,022	0,012	0,018	0,021	0,023	0,008	0,019	0,028
Sítio Tetr.	2,000	2,000	2,000	2,000	2,000	2,000	2,000	2,000	2,000	2,000
Al VI	0,031	0,015	0,028	0,024	0,024	0,022	0,020	0,038	0,024	0,038
Ti	0,001	0,002	0,003	0,002	0,001	0,002	0,003	0,002	0,002	0,001
Cr	0,005	0,000	0,009	0,003	0,004	0,002	0,005	0,004	0,002	0,000
Fe ⁺³	0,000	0,000	0,000	0,000	0,000	0,000	0,000	0,000	0,000	0,000
Fe ⁺²	0,635	0,888	0,512	0,827	0,456	0,517	0,490	0,709	0,849	0,948
Mn ⁺²	0,014	0,021	0,012	0,018	0,009	0,011	0,009	0,020	0,024	0,022
Ni	0,000	0,000	0,000	0,000	0,001	0,002	0,000	0,000	0,000	0,002
Mg	1,283	1,057	1,403	1,099	1,489	1,424	1,453	1,190	1,072	0,966
Ca	0,016	0,018	0,022	0,017	0,010	0,016	0,015	0,017	0,022	0,017
Na	0,000	0,000	0,000	0,000	0,000	0,000	0,000	0,001	0,000	0,000
K	0,000	0,000	0,001	0,000	0,000	0,000	0,000	0,000	0,000	0,002
Sítios M1,M2	1,984	2,002	1,990	1,990	1,994	1,996	1,996	1,981	1,995	1,995
O	6,000	6,000	6,000	6,000	6,000	6,000	6,000	6,000	6,000	6,000
Mg/Mg+Fe (MMF)	0,669	0,543	0,732	0,571	0,766	0,734	0,748	0,627	0,558	0,505
En	65,9	53,3	71,9	56,1	75,8	72,4	73,9	61,5	54,5	49,5
Fs	33,3	45,8	26,9	43,1	23,7	26,8	25,4	37,6	44,4	49,7
Wo	0,8	0,9	1,2	0,9	0,5	0,8	0,8	0,9	1,1	0,9

Tabela A2 - Análises químicas representativas de ortopiroxênio do Complexo de Cana Brava e Intrusões Noríticas (cont.)

ORTOPIROXÊNIO - INTRUSÕES NORÍTICAS

ZONA	ZNC	ZNC	ZNC	ZNB	ZNB	ZNB
MEMBRO						
LÂMINA	L4000N-2775A1W	L4000N-2775A2W	TLR-349	L2000N-2700W	L1000N-2575BWIN	TLR-348IN
AMOSTRA	T23CO3	T24DO2	T31DO2	T30FO2	T32AO1	T67CO2
SiO ₂ %	53,942	53,984	53,266	52,833	51,846	52,439
TiO ₂ %	0,069	0,056	0,097	0,089	0,054	0,075
Al ₂ O ₃ %	0,927	1,233	0,900	1,326	1,431	0,907
Cr ₂ O ₃ %	0,063	0,009	0,019	0,146	0,000	0,025
Fe ₂ O ₃ %	0,000	0,000	0,000	0,000	0,000	0,000
FeO %	21,486	20,240	24,824	25,214	29,559	25,372
MnO %	0,555	0,437	0,591	0,677	0,670	0,746
NiO %	0,000	0,037	0,071	0,000	0,069	0,107
MgO %	22,960	23,854	20,044	19,806	16,594	19,119
CaO %	0,411	0,390	0,567	0,444	0,487	0,680
Na ₂ O %	0,000	0,000	0,011	0,015	0,000	0,000
K ₂ O %	0,026	0,011	0,000	0,000	0,004	0,000
Total	100,439	100,251	100,390	100,550	100,714	99,470
Normalização de cátions na base de 6 oxigênios						
Si IV	1,988	1,980	1,996	1,981	1,983	1,994
Al IV	0,012	0,020	0,004	0,019	0,018	0,006
Sítio Tetr.	2,000	2,000	2,000	2,000	2,000	2,000
Al VI	0,028	0,034	0,036	0,040	0,047	0,035
Ti	0,002	0,002	0,003	0,003	0,002	0,002
Cr	0,002	0,000	0,001	0,004	0,000	0,001
Fe ⁺³	0,000	0,000	0,000	0,000	0,000	0,000
Fe ⁺²	0,662	0,621	0,778	0,791	0,945	0,807
Mn ⁺²	0,017	0,014	0,019	0,022	0,022	0,024
Ni	0,000	0,001	0,002	0,000	0,002	0,003
Mg	1,261	1,305	1,120	1,107	0,946	1,084
Ca	0,016	0,015	0,023	0,018	0,020	0,028
Na	0,000	0,000	0,001	0,001	0,000	0,000
K	0,001	0,001	0,000	0,000	0,000	0,000
Sítios M1,M2	1,990	1,992	1,981	1,985	1,984	1,983
O	6,000	6,000	6,000	6,000	6,000	6,000
Mg/Mg+Fe (MMF)	0,656	0,678	0,590	0,583	0,500	0,573
En	64,5	66,7	57,7	57,2	48,9	55,8
Fs	34,7	32,5	41,1	41,9	50,0	42,8
Wo	0,8	0,8	1,2	0,9	1,0	1,4

Tabela A2 - Análises químicas representativas de ortopiroxênio do Complexo de Cana Brava e Intrusões Noríticas (cont.)

PLAGIOCLÁSIO - COMPLEXO DE CANA BRAVA

ZONA	ZMI							ZMS		
MEMBRO	ZMI-SB	ZMI-SB	ZMI-P1	ZMI-P2	ZMI-M2	ZMI-M2	ZMI-M2	ZMS-M1	ZMS-P2	ZMS-M3
AMOSTRA	L6000N-8100E	TLR-196	L6000N-7125E	L6000N-6000E	L6000N-5970E	L6000N-5750E	L6000N-5450E	L6000N-3250E	L1000N-2450E	L6000N-1850E
ANÁLISE	T06EP4	T01FP3	T02EP4	T16BP2	T38CP1	T03JP1	T07DP4	T08FP4	T28CP3	T10GP1
Na2O %	2,052	1,513	4,189	2,445	2,056	1,293	1,398	3,154	1,701	2,933
SiO2 %	48,486	46,656	54,529	48,972	48,780	46,373	47,498	51,753	47,867	51,140
Al2O3 %	33,587	34,373	30,617	33,218	33,471	35,247	34,250	31,229	34,524	32,126
K2O %	0,014	0,029	0,723	0,045	0,037	0,016	0,066	0,151	0,053	0,169
FeO %	0,007	0,019	0,009	0,014	0,027	0,062	0,045	0,091	0,000	0,080
BaO %	0,049	0,039	0,086	0,000	0,073	0,107	0,000	0,098	0,000	0,000
CaO %	16,340	17,668	10,611	15,602	16,383	17,608	17,465	14,081	16,681	14,249
SrO %	0,000	0,000	0,000	0,010	0,000	0,000	0,119	0,000	0,000	0,000
Total	100,535	100,297	100,764	100,306	100,827	100,706	100,841	100,557	100,826	100,697
Normalização dos cátions na base de 8 oxigênios										
Na ⁺¹	0,181	0,134	0,363	0,216	0,181	0,114	0,123	0,276	0,150	0,257
Si ⁺⁴	2,205	2,139	2,435	2,229	2,213	2,117	2,162	2,338	2,172	2,307
Al ⁺³	1,801	1,857	1,612	1,782	1,790	1,896	1,837	1,663	1,846	1,708
K	0,001	0,002	0,041	0,003	0,002	0,001	0,004	0,009	0,003	0,010
Fe ⁺²	0,000	0,001	0,000	0,001	0,001	0,002	0,002	0,003	0,000	0,003
Ba ⁺²	0,001	0,001	0,002	0,000	0,001	0,002	0,000	0,002	0,000	0,000
Ca ⁺²	0,796	0,868	0,508	0,761	0,796	0,861	0,852	0,682	0,811	0,689
Sr ⁺²	0,000	0,000	0,000	0,000	0,000	0,000	0,003	0,000	0,000	0,000
TOTAL	4,985	5,001	4,961	4,990	4,984	4,993	4,983	4,973	4,982	4,972
O-2	8,000	8,000	8,000	8,000	8,000	8,000	8,000	8,000	8,000	8,000
An	81,4	86,4	55,7	77,7	81,3	88,2	87,0	70,5	84,2	72,1
Ab	18,5	13,4	39,8	22,0	18,5	11,7	12,6	28,6	15,5	26,9
Or	0,1	0,2	4,5	0,3	0,2	0,1	0,4	0,9	0,3	1,0

Tabela A3 - Análises químicas representativas de plagioclásio do Complexo de Cana Brava

PLAGIOCLÁSIO - COMPLEXO DE CANA BRAVA

ZONA	ZMS											
MEMBRO	ZMS-P4	ZMS-P4	ZMS-P4	ZMS-M4	ZMS-M4	ZMS-P5	ZMS-M5	ZMS-P6	ZMS-M6	ZMS-M6	ZMS-M6	ZMS-P7
AMOSTRA	TLR-408B	TLR-408C	TLR-103A	L2000N-00	L2000N-550W	TLR-360	L2000N-1275W	L3000N-1300W	L2000N-1600W	L2000N-1700W	L3000N-1800W	
ANÁLISE	T18CPA2	T29AP1	T55AP1	T11FP3	T04EP1	T27GP5	T12BP1	T20AP1	T60FP2	T13AP1	T61CP3	
Na ₂ O %	1,402	0,840	1,205	1,561	1,980	1,787	1,598	1,365	1,237	1,250	0,781	
SiO ₂ %	46,858	44,748	45,365	46,927	48,350	48,097	47,005	46,574	46,194	45,918	45,072	
Al ₂ O ₃ %	34,747	34,977	33,928	34,540	33,875	34,127	34,378	34,780	34,278	34,571	35,000	
K ₂ O %	0,004	0,010	0,046	0,032	0,031	0,055	0,058	0,016	0,051	0,046	0,000	
FeO %	0,016	0,041	0,070	0,033	0,029	0,116	0,109	0,014	0,041	0,315	0,000	
BaO %	0,050	0,000	0,191	0,121	0,098	0,073	0,049	0,000	0,049	0,122	0,000	
CaO %	17,487	18,850	18,229	16,989	16,497	16,493	17,292	17,650	17,928	17,664	18,750	
SrO %	0,000	0,000	0,039	0,049	0,000	0,000	0,049	0,000	0,000	0,000	0,000	
Total	100,564	99,466	99,073	100,252	100,860	100,748	100,538	100,399	99,778	99,886	99,603	
Normalização dos cátions na base de 8 oxigénios												
Na ⁺¹	0,124	0,076	0,109	0,139	0,174	0,157	0,142	0,121	0,111	0,112	0,070	
Si ⁺⁴	2,139	2,077	2,115	2,148	2,194	2,185	2,148	2,130	2,130	2,118	2,086	
Al ⁺³	1,869	1,913	1,864	1,864	1,812	1,827	1,852	1,875	1,863	1,879	1,909	
K	0,000	0,001	0,003	0,002	0,002	0,003	0,003	0,001	0,003	0,003	0,000	
Fe ⁺²	0,001	0,002	0,003	0,001	0,001	0,004	0,004	0,001	0,002	0,012	0,000	
Ba ⁺²	0,001	0,000	0,003	0,002	0,002	0,001	0,001	0,000	0,001	0,002	0,000	
Ca ⁺²	0,855	0,937	0,911	0,833	0,802	0,803	0,847	0,865	0,886	0,873	0,930	
Sr ⁺²	0,000	0,000	0,001	0,001	0,000	0,000	0,001	0,000	0,000	0,000	0,000	
TOTAL	4,989	5,005	5,009	4,990	4,988	4,982	4,998	4,993	4,995	4,999	4,995	
O-2	8,000	8,000	8,000	8,000	8,000	8,000	8,000	8,000	8,000	8,000	8,000	
An	87,3	92,5	89,1	85,6	82,0	83,3	85,4	87,6	88,6	88,4	93,0	
Ab	12,7	7,5	10,7	14,2	17,8	16,3	14,3	12,3	11,1	11,3	7,0	
Or	0,0	0,1	0,3	0,2	0,2	0,3	0,3	0,1	0,3	0,3	0,0	

Tabela A3 - Análises químicas representativas de plagioclásio do Complexo de Cana Brava (cont.)

PLAGIOCLÁSIO - COMPLEXO DE CANA BRAVA				PLAGIOCLÁSIO - INTRUSÕES NORÍTICAS					
ZONA	ZMS			ZNC	ZNC	ZNC	ZNB	ZNB	
MEMBRO	ZMS-P7	ZMS-M7	XENÓLITO	ZNC	ZNC	ZNC	ZNB	ZNB	
AMOSTRA	L2000N-1870W	L2000N-2250W	L1000N-2575BWX	TLR-349	L4000N-2775A1W	L4000N-2775A2W	L1000N-2575BWIN	TLR-348IN	
ANÁLISE	T21DP3	T65BP1	T32EP3	T31NP4	T23EP2	T24FP5	T32AP1	T67AP1	
Na2O %	1,620	1,246	2,572	1,672	1,078	1,506	3,526	4,525	
SiO2 %	47,070	46,361	49,425	47,593	45,872	46,959	51,896	53,948	
Al2O3 %	34,330	34,226	31,828	34,212	35,049	34,430	30,372	28,741	
K2O %	0,050	0,013	0,047	0,043	0,037	0,000	0,098	0,100	
FeO %	0,196	0,050	0,105	0,095	0,009	0,142	0,069	0,039	
BaO %	0,000	0,051	0,174	0,000	0,126	0,051	0,025	0,000	
CaO %	17,097	17,835	15,167	16,385	18,089	17,505	13,519	11,785	
SrO %	0,000	0,000	0,000	0,049	0,020	0,000	0,000	0,000	
Total	100,363	99,782	99,318	100,049	100,280	100,593	99,505	99,138	
Normalização dos cátions na base de 8 oxigênios									
Na ⁺¹	0,144	0,111	0,229	0,148	0,096	0,133	0,312	0,399	
Si ⁺⁴	2,153	2,136	2,272	2,176	2,106	2,145	2,365	2,455	
Al ⁺³	1,851	1,859	1,724	1,843	1,897	1,854	1,632	1,541	
K	0,003	0,001	0,003	0,003	0,002	0,000	0,006	0,006	
Fe ⁺²	0,007	0,002	0,004	0,004	0,000	0,005	0,003	0,001	
Ba ⁺²	0,000	0,001	0,003	0,000	0,002	0,001	0,000	0,000	
Ca ⁺²	0,838	0,881	0,747	0,803	0,890	0,857	0,660	0,575	
Sr ⁺²	0,000	0,000	0,000	0,001	0,001	0,000	0,000	0,000	
TOTAL	4,995	4,990	4,982	4,978	4,994	4,995	4,977	4,977	
O-2	8,000	8,000	8,000	8,000	8,000	8,000	8,000	8,000	
An	85,1	88,7	76,3	84,2	90,1	86,5	67,5	58,7	
Ab	14,6	11,2	23,4	15,5	9,7	13,5	31,9	40,8	
Or	0,3	0,1	0,3	0,3	0,2	0,0	0,6	0,6	

Tabela A3 - Análises químicas representativas de plagioclásio do Complexo de Cana Brava e das Intrusões Noríticas (cont.)

SULFETOS - COMPLEXO DE CANA BRAVA

ZONA	CALCOPIRITA	PENTLANDITA			TROILITA	PIRROTITA					
	ZMS	ZMS			ZMS	ZMS					
MEMBRO	ZMS-P4	ZMS-P1	ZMS-P4	ZMS-P4	ZMS-P1	ZMS-P1	ZMS-P4	ZMS-P4	ZMS-P4	ZMS-P4	ZMS-P7
AMOSTRA	TLR-355A	L6000N-4230E	TLR-408A	TLR-355A	L6000N-4230E	L6000N-4230E	TLR-408A	TLR-355A	TLR-408A	L3000N-1800W	
ANÁLISE	TS07AZ2	TS05BK1	TS01BN1	TS07AN3	TS06CT2	TS06CT4	TS01BT2	TS07AT3	TS01BT3	T3000N	
Fe %	30,472	32,093	30,871	30,213	61,023	60,696	59,899	60,685	59,168	58,266	
Ni%	0,019	31,488	34,970	34,768	0,141	0,202	0,253	0,246	0,338	0,237	
Co %	0,000	3,478	1,217	1,744	0,000	0,000	0,031	0,000	0,000	0,000	
Cu %	34,408	0,000	0,036	0,000	0,000	0,000	0,000	0,059	0,002	0,096	
S %	34,671	33,232	33,378	33,564	38,746	38,543	39,807	38,798	39,113	39,381	
Total	99,570	100,291	100,472	100,289	99,910	99,441	99,990	99,788	98,621	97,980	
% at Fe	25,158	26,042	25,003	24,482	47,436	47,412	46,253	47,209	46,364	45,819	
% at Ni	0,015	24,315	26,952	26,809	0,104	0,150	0,186	0,182	0,252	0,177	
% at Co	0,000	2,675	0,934	1,339	0,000	0,000	0,023	0,000	0,000	0,000	
% at Cu	24,970	0,000	0,026	0,000	0,000	0,000	0,000	0,040	0,001	0,066	
% at S	49,857	46,968	47,085	47,370	52,459	52,438	53,538	52,569	53,382	53,938	
Total	100,000	100,000	100,000	100,000	100,000	100,000	100,000	100,000	100,000	100,000	
Un.For At.Fe	1,006	4,427	4,251	4,162	0,949	7,112	6,938	7,081	6,955	6,873	
Un.For At.Ni	0,001	4,134	4,582	4,558	0,002	0,023	0,028	0,027	0,038	0,027	
Un.For At.Co	0,000	0,455	0,159	0,228	0,000	0,000	0,003	0,000	0,000	0,000	
Un.For At.Cu	0,999	0,000	0,004	0,000	0,000	0,000	0,000	0,006	0,000	0,010	
Un.For At.S	1,994	7,985	8,004	8,053	1,049	7,866	8,031	7,885	8,007	8,091	
Total	4,000	17,000	17,000	17,000	2,000	15,000	15,000	15,000	15,000	15,000	

Tabela A.6 - Análises químicas representativas de sulfetos do Complexo de Cana Brava